

การปักกฤษณ์เนย์มโน้ตไว้ในโตรเจนฟอสเฟตที่ถูกเจือด้วยกรดหาร์หาริค  
ด้วยวิธีแบบพิเศษเดียว <100> และการศึกษาคุณสมบัติต่างๆ ของผลึก

ศักดิ์รินทร์ โคตรเพชร

รายงานวิชาโครงงานพิสิเกส  
เสนอต่อมหาวิทยาลัยมหาสารคามเพื่อเป็นส่วนหนึ่งของการศึกษาตามหลักสูตร  
ปริญญาวิทยาศาสตรบัณฑิต สาขาพิสิเกส  
พฤษภาคม 2556  
ลิขสิทธิ์เป็นของมหาวิทยาลัยมหาสารคาม



การปลูกฝึกแฝงโมโนเมต์ไครเจนฟอสเฟตที่ถูกเจือด้วยกรดหาร์หาริค  
ด้วยวิธีแบบทิศทางเดียว <100> และการศึกษาคุณสมบัติต่างๆ ของผลึก

ศักดิ์รินทร์ โคตรเพชร

รายงานวิชาโครงงานพิสิกส์  
เสนอต่อมหาวิทยาลัยมหาสารคามเพื่อเป็นส่วนหนึ่งของการศึกษาตามหลักสูตร  
ปริญญาวิทยาศาสตรบัณฑิต สาขาพิสิกส์  
พฤษภาคม 2556  
ลิขสิทธิ์เป็นของมหาวิทยาลัยมหาสารคาม

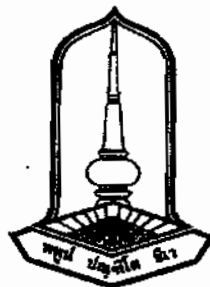


**Unidirectional Sankaranarayanan–Ramasamy Growth of <100>  
Tartaric Acid Doped Ammonium Dihydrogen Phosphate  
And the Study of Its Characteristics**

**Sakrin Khotpech**

**Presented in partial fulfillment of requirements for  
The Bachelor Degree of Science in Physics  
At Mahasarakham University  
May 2013  
All rights reserved by Mahasarakham University**





การปักกอกลีกแอมโมเนียมไดอิโตรเจนฟอสเฟตที่ถูกเจือด้วยกรดหาร์หาริค  
ด้วยวิธีแบบทิศทางเดียว <100> และการศึกษาคุณสมบัติต่างๆ ของกลีก

ศักดิ์รินทร์ โคตรเพชร

รายงานวิชาโครงงานพิสิกส์เสนอต่อมหาวิทยาลัยมหาสารคามเพื่อเป็นส่วนหนึ่งของ  
การศึกษาตามหลักสูตรปริญญาวิทยาศาสตรบัณฑิต สาขาวิชาพิสิกส์

คณะกรรมการคุณสอบ

..... ประธานกรรมการ  
(ผู้ช่วยศาสตราจารย์ ดร. อรุณรัตน์ ฤทธิเศษ)

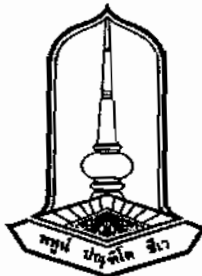
..... กรรมการ  
(อาจารย์ ดร. ปานิญา เนลากุล)

..... กรรมการ  
(อาจารย์ ดร. ทชาชัย ฤทธิ์เจริญวัฒนา)

..... อาจารย์ที่ปรึกษาร่วม  
(อาจารย์ ดร. สุกรรทัย หงษ์สุมพัน)

..... อาจารย์ที่ปรึกษา  
(อาจารย์ ดร. อรุณรัตน์ เจริญอินทร์)

วันที่ 7 เดือน พฤษภาคม พ.ศ. 2556



Unidirectional Sankaranarayanan – Ramasamy Growth of <100>  
Tartaric Acid Doped Ammonium Dihydrogen Phosphate  
And the Study of Its Characteristics

Sakrin Khotpech

Presented in partial fulfillment of requirements for the degree of bachelor of science in physics

Examination Committee:

*A. Rittidech* ..... Chairperson

(Assistant Professor Dr. Aurawan Rittidech)

*Paveena Laokul* ..... Member

(Dr. Paveena Laokul)

*Supachai Ritjareonwattu* ..... Member

(Dr. Supachai Ritjareonwattu)

*Supakorn Harnsoongnoen* ..... Co-advisor

(Dr. Supakorn Harnsoongnoen)

*U. Charoen-In* ..... Advisor

(Dr. Urit Charoen-In)

Date 7 May 2013



## กิตติกรรมประกาศ

โครงการวิจัยเรื่องการปลูกผักแครมโนนเนียมไดไฮโดรเจนฟอสเฟตที่ถูกเจือด้วยกรดหาร์หาริคด้วยวิธีแบบทิศทางเดียว <100> และการศึกษาคุณสมบัติต่างๆ ของผักสำเร็จลุ่งไปได้ด้วยตี ผู้ทำโครงการจึงขอขอบพระคุณดังนี้

ขอขอบพระคุณ อาจารย์ ดร.อุดุทธ เจริญอินทร์ อาจารย์ที่ปรึกษาโครงการ อาจารย์ ดร.สันชัย หาญสูงเนิน อาจารย์ที่ปรึกษาโครงการร่วม อาจารย์ ดร.นิติศักดิ์ ปานะจะ หัวหน้าภาควิชา พิกส์ คณะวิทยาศาสตร์ มหาวิทยาลัยมหาสารคาม ที่อยู่ช่วยเหลือ ชี้แนะแนวทางในการทำโครงการ เรื่องนี้เป็นด้านต่างๆ ไม่ว่าจะเป็นการหาข้อมูลการวิเคราะห์ข้อมูลและให้ความช่วยเหลือในทุกอย่างในการทำโครงการเล่มนี้

ขอขอบคุณบุคลากรภาควิชาพิสิกส์ ศูนย์เครื่องมือกลางคณะวิทยาศาสตร์ มหาวิทยาลัย มหาสารคาม ศูนย์เครื่องมือ มหาวิทยาลัยเทคโนโลยีสุรนารี และสุดท้ายขอขอบพระคุณ บิดา มารดา ครู อาจารย์ ทุกท่าน ที่ช่วยอบรมสั่งสอนให้ปัญญาแก่ผู้ทำโครงการจนประสบความสำเร็จ

สุดท้ายนี้ขอขอบคุณงามความดีของโครงการนี้แต่ผู้ที่มีส่วนเกี่ยวข้องทุกๆ ท่านที่ทำให้ โครงการพิสิกส์สำเร็จลงด้วยตี และหวังเป็นอย่างยิ่งว่าโครงการนี้จะเป็นประโยชน์สำหรับผู้ที่สนใจใน ด้านนี้ต่อไป

ศักดิ์รินทร์ โคตรเพชร

<b>ชื่อโครงการ</b>	การปลูกผลึกแอมโมเนียมไดไฮดรอเจนฟอสเฟตที่ถูกเจือด้วยกรดหาร์ทา-ริกด้วยวิธีแบบทิศทางเดียว <100> และการศึกษาคุณสมบัติต่างๆ ของผลึก
<b>ผู้ศึกษาค้นคว้า</b>	นาย ศักดิ์รินทร์ โคตรเพชร
<b>อาจารย์ที่ปรึกษา</b>	อาจารย์ ดร. อุฤทธิ์ เจริญอินทร์
<b>อาจารย์ที่ปรึกษาร่วม</b>	อาจารย์ ดร. สันนชัย หาญสูงเนิน
<b>ปริญญา</b>	วิทยาศาสตรบัณฑิต (วท.บ.พิสิกส์)
<b>มหาวิทยาลัย</b>	มหาวิทยาลัยมหาสารคาม ปีที่พินิจ 2556

### บทคัดย่อ

แอมโมเนียมไดไฮดรอเจนฟอสเฟต (ADP) เป็นสารอินทรีย์ที่มีคุณสมบัติเป็นแอนติเพอร์โอะเล็กทริกและทัศนศาสตร์แบบไม่เชิงเส้น ซึ่งสามารถนำมาประยุกต์ใช้ในอุตสากรรมอิเล็กทรอนิคส์ต่างๆ อย่างไรก็ตาม ADP มีข้อจำกัดในการใช้งาน ดังนั้นในการศึกษาวิจัยครั้งนี้ จึงมีวัตถุประสงค์เพื่อปรับเปลี่ยนสมบัติเพอร์โอะเล็กทริกของผลึก ADP บริสุทธิ์ โดยเจือด้วยกรดหาร์ทา-ริก (tartaric acid) ความเข้มข้น 2%mol ซึ่งการปลูกผลึกนี้จะใช้วิธีการตกผลึกจากสารละลาย 2 วิธี คือ การปลูกผลึกแบบดั้งเดิมและการปลูกผลึกแบบทิศทางเดียวในทิศทาง <100> จากนั้นนำผลึกที่ได้ทั้ง 2 วิธี มาศึกษาเปรียบเทียบลักษณะของผลึก ADP บริสุทธิ์ และผลึก ADP ที่ถูกเจือด้วยกรดหาร์ทา-ริก 2%mol จากการศึกษาอัตราการเจริญเติบโตของผลึก พบว่าผลึกที่ปลูกแบบทิศทางเดียวมีอัตราการเจริญเติบโต (1.40 mm/วัน) สูงกว่าผลึกที่ได้จากการปลูกแบบดั้งเดิม (1.33 mm/วัน) ผลการศึกษาการเลี้ยวเบนของรังสีเอกซ์ของผลึก ADP บริสุทธิ์ และที่ถูกเจือด้วยกรดหาร์ทา-ริก พบว่า สเปกตรัมการเลี้ยวเบนของรังสีเอกซ์จากผลึกที่ถูกเจือมีลักษณะตรงกับผลึก ADP บริสุทธิ์ ผลการศึกษาสเปกตรัมของแสงจากเทคนิค FTIR พบหมู่พังก์ชันที่ใช้ยืนยันโนโลเกี้ยลในโครงสร้างผลึก ADP บริสุทธิ์และผลึก ADP ที่ถูกเจือด้วยกรดหาร์ทา-ริก การศึกษาค่าคงที่โดยอิเล็กทริก พบว่าการปลูกผลึก วิธีแบบทิศทางเดียว มีค่าคงที่โดยอิเล็กทริกที่สูงขึ้น และการศึกษาเบื้องต้นเพอร์โอะเล็กทริกของผลึกกรดหาร์ทา-ริกบริสุทธิ์ พบว่าสมบัติกรดหาร์ทา-ริกมีความสอดคล้องกับสมบัติกรดหาร์ทา-ริกจากรายงานวิจัยอื่นๆ ดังนั้นกรดหาร์ทา-ริกมีแนวโน้มปรับเปลี่ยนสมบัติเพอร์โอะเล็กทริก ซึ่งโครงงานนี้จะทำการศึกษาต่อไป

<b>TITLE</b>	Unidirectional Sankaranarayanan-Ramasamy growth of <100> tartaric acid doped ammonium dihydrogen phosphate and the study of its characteristics.
<b>AUTHOR</b>	Mr. Sakrin Khotpech
<b>ADVISOR</b>	Dr. Urit Charoen-In
<b>Co-advisor</b>	Dr. Sanchai Harnsoongnoen
<b>DEGREE</b>	Bachelor of Science in Physics (B.Sc. Physics)
<b>UNIVERSITY</b>	Mahasarakham University Date 2013

### Abstract

Ammonium dihydrogen phosphate (ADP) is an organic compound with antiferroelectric and non-linear optic properties. ADP can be used in electronics industries but has limitation in the ferroelectric applications. The aim of this project is to improve ferroelectric properties of ADP crystals. The pure ADP was doped with tartaric acid at the concentration of 2 %mol. The crystals were grown by two solution methods: 1. a conventional method and 2. an unidirectional Sankaranarayanan-Ramasamy (SR) method. The pure and doped ADP crystals were studied by various techniques. The crystal growth rate was observed and the growth rate was calculated. The growth rate of the crystals grown by the unidirectional method (1.4 mm / day) was higher than that grown by the conventional method (1.33 mm / day). The XRD spectrum of the ADP crystals was studied. The tartaric acid doped ADP crystal has the similar XRD spectrum to that of the pure ADP crystal. The FTIR technique was used to confirm the functional groups within the crystals. The absorbance of the crystals was also studied. The ADP crystals grown with unidirectional method have higher relative dielectric constant than those grown by the conventional method. Basic ferroelectricity of pure tartaric acid was also studied. The properties of the pure tartaric acid crystals are consistent with those reported by Zhihua Sun et al. Some studies show that the crystals with tartaric acid can show some ferroelectric properties. Thus tartaric acid has the potential to improve ferroelectric properties of the ADP crystal. However, some further studies are needed to characterize the ferroelectricity of the doped ADP.

## สารบัญ

	หน้า
บทคัดย่อภาษาไทย.....	ก
บทคัดย่อภาษาอังกฤษ.....	ข
กิตติกรรมประกาศ.....	ค
สารบัญ.....	ง
สารบัญตาราง.....	ด
สารบัญรูปภาพ.....	ซ
 บทที่ 1 บทนำ.....	 1
1.1 ที่มาและความสำคัญ.....	1
1.2 วัตถุประสงค์.....	2
1.3 ขอบเขตของโครงการ.....	2
1.4 สถานที่ทำงาน.....	2
1.5 ประโยชน์ที่ได้รับ.....	2
 บทที่ 2 ทฤษฎีที่เกี่ยวข้อง.....	 3
2.1 ผลึก.....	3
2.1.1 โครงสร้างผลึก.....	3
2.1.2 ทิศทางและรูปแบบของผลึก.....	5
2.2 แอมโมเนียมไดไฮดรอเจนฟอสเฟต.....	6
2.3 กรดหาร์หาริค.....	7
2.4 หลักการปลูกผลึกจากสารละลาย.....	8
2.4.1 การปลูกผลึกแบบดั้งเดิม.....	8
2.4.2 การปลูกผลึกแบบทิศทางเดียว.....	9
2.5 เครื่องมือการวิเคราะห์สมบัติของผลึก.....	10
2.5.1 การศึกษาการเสี้ยวเบนของรังสีเอกซ์.....	10
2.5.2 การศึกษานิพัทธ์ชั้นด้วยเทคนิค FTIR.....	12
2.5.3 การศึกษาค่าคงที่โคอิเล็กทริก.....	13
2.5.4 การศึกษาเพอร์โอดิเล็กทริก.....	15
 บทที่ 3 วัสดุอุปกรณ์และวิธีการทดลอง.....	 18
3.1 สารเคมีที่ใช้ในโครงการ.....	18
3.2 เครื่องมือและอุปกรณ์.....	18
3.3 ขั้นตอนการดำเนินงานวิจัย.....	19
3.3.1 การปลูกวิธีแบบดั้งเดิม.....	19
3.3.2 การปลูกวิธีแบบทิศทางเดียว.....	22



## สารบัญ (ต่อ)

	หน้า
<b>บทที่ 4 ผลการทดลองและอภิปรายผล.....</b>	24
<b>4.1 ลักษณะทางกายภาพของผลึกที่ปููกได้.....</b>	24
<b>4.1.1 ผลึกปููกปูอกแบบดั้งเดิม.....</b>	24
<b>4.1.2 ผลึกปููกปูอกแบบหีศทางเดียว.....</b>	25
<b>4.2 อัตราเจริญเติบโต.....</b>	26
<b>4.3 การศึกษาการเลี้ยงเบนของรังสีเอกซ์.....</b>	27
<b>4.4 การศึกษาหมุนฟังก์ชันด้วยเทคนิค FTIR.....</b>	28
<b>4.5 การศึกษาคุณลักษณะปัตติไดอะลีกทริก.....</b>	29
<b>4.6 การศึกษาสมบัติเพื่อรื้อเริ่มเล็กทริก.....</b>	30
<b>บทที่ 5 สรุปผลการทดลองและข้อเสนอแนะ.....</b>	33
<b>5.1 สรุปผลการทดลอง.....</b>	33
<b>5.2 ปัญหา.....</b>	33
<b>5.2 ข้อเสนอแนะ.....</b>	33
<b>บรรณานุกรม.....</b>	34
<b>ภาคผนวก.....</b>	38
<b>ภาคผนวก ก ภาพสารเคมีและขุดอุปกรณ์การทดลอง.....</b>	39
<b>ภาคผนวก ข การคำนวณ.....</b>	41
<b>ประวัติผู้ทำโครงการ.....</b>	43



## สารบัญตาราง

	หน้า
ตารางที่ 2.1 ระบบผลีกหั้ง 7 กลุ่ม 14 แบบ.....	4
ตารางที่ 4.1 หมู่ผู้ใช้ชั้นและยอดของสเปกตรัม.....	29
ตารางที่ 4.2 ขนาดผลีกใช้ในการวิเคราะห์ค่าคงที่ไดอิเล็กทริก .....	29



## สารบัญภาพประกอบ

	หน้า
ภาพที่ 2.1 ลักษณะของแข็ง.....	3
ภาพที่ 2.2 โครงสร้าง ผลิตทิช จุคแลดทิช และยูนิตเซลล์.....	4
ภาพที่ 2.3 ตัวอย่างพื้นทางของผลึกในหน่วยเซลล์.....	5
ภาพที่ 2.4 ระนาบต่างๆ ของผลึก.....	6
ภาพที่ 2.5 ผลึก ADP บริสุทธิ์.....	7
ภาพที่ 2.6 ลักษณะของผลึก ADP.....	7
ภาพที่ 2.7 โครงสร้างและลักษณะกรดหาร์ทาเริค.....	8
ภาพที่ 2.8 ความสัมพันธ์ระหว่างอุณหภูมิกับความเข้มข้น.....	8
ภาพที่ 2.9 วิธีปลูกผลึกแบบทิศทางเดียว.....	9
ภาพที่ 2.10 เครื่อง Bruker's x-ray diffraction D8-discover.....	11
ภาพที่ 2.11 แผนภาพสะท้อนของรังสีเอกซ์.....	11
ภาพที่ 2.12 สเปกตรัมการเลี้ยวเบนรังสีเอกซ์ของผลึก ADP.....	11
ภาพที่ 2.13 เครื่อง FTIR.....	12
ภาพที่ 2.14 ผลการวิเคราะห์ FTIR ของผลึก ADP .....	13
ภาพที่ 2.15 เครื่อง Agilent E4980A การทดสอบค่าไดอิเล็กทริก.....	14
ภาพที่ 2.16 ค่าคงที่ไดอิเล็กทริกของผลึก ADP และ ADP เจือด้วย CO และ DLM.....	15
ภาพที่ 2.17 ความสัมพันธ์ระหว่าง E-P ของเพอร์โรมิเตอร์.....	16
ภาพที่ 2.18 ค่าโพลาไรเซชันของสารในกลุ่มหาร์ทาเรท .....	16
ภาพที่ 2.19 ความสัมพันธ์ระหว่าง E-P ของเครื่องวัด.....	17
ภาพที่ 3.1 แผนผังการศึกษาการปลูกผลึกแบบบวิธีตั้งเติม.....	19
ภาพที่ 3.2 แผนผังการศึกษาการปลูกผลึกแบบทิศทางเดียว.....	22
ภาพที่ 4.1 ลักษณะกายภาพผลึกที่ปลูกแบบบวิธีตั้งเติม.....	24
ภาพที่ 4.2 ลักษณะกายภาพผลึกที่ปลูกแบบทิศทางเดียว.....	25
ภาพที่ 4.3 อัตราการเจริญเติบโตของผลึกนิดต่างๆ.....	26
ภาพที่ 4.4 การเลี้ยวเบนของรังสีเอกซ์.....	27
ภาพที่ 4.5 สเปกตรัมการดูดกลืนแสงอินฟราเรดของผลึก.....	28
ภาพที่ 4.6 ค่าคงที่ไดอิเล็กทริก.....	30
ภาพที่ 4.7 ค่าโพลาไรเซชันของผลึก ADP บริสุทธิ์.....	31
ภาพที่ 4.8 ค่าโพลาไรเซชันของผลึกกรดหาร์ทาเริค.....	31



## บทที่ 1

### บทนำ

#### 1.1) ที่มาและความสำคัญ

การพัฒนาทางด้านวัสดุศาสตร์มีความเป็นมาอย่างยาวนาน โดยเกิดขึ้นควบคู่กับการพัฒนาเทคโนโลยีด้านต่างๆ ดังนั้นงานด้านวัสดุศาสตร์จึงมีความสำคัญต่อการพัฒนาสิ่งประดิษฐ์ต่างๆ ที่เป็นประโยชน์ต่อการดำเนินชีวิตของมนุษย์ ในปัจจุบันเทคโนโลยีด้านแสงกำลังมีบทบาทที่สำคัญต่อการพัฒนาประเทศ ซึ่งทำให้เกิดความต้องการวัสดุที่จะตอบสนองต่อเทคโนโลยีที่ถูกพัฒนาขึ้นเหล่านี้ นับจากอดีต ผลึกเป็นวัสดุที่สามารถตอบสนองต่อแสงได้ดี และผลึกบางประเภทสามารถปรับเปลี่ยนสมบัติบางอย่างของแสงได้ [1] โดยเฉพาะอย่างยิ่งผลึกที่มีคุณสมบัติการตอบสนองที่ไม่ใช่เส้นต่อแสงย่างต่างๆ กำลังได้รับความสนใจและศึกษาจากนักวิจัยทั่วโลก

การเตรียมผลึกสำหรับใช้กับอุปกรณ์ด้านแสงต่างๆ นั้น ทำได้หลายวิธี แต่อย่างไรก็ตาม วิธีที่ได้รับความนิยมมากที่สุดวิธีหนึ่ง คือ การปลูกผลึกจากสารละลาย โดยหลักการและแนวคิดการปลูกผลึกแบบนี้ ถูกพัฒนาตั้งแต่ศตวรรษที่ 18 ซึ่งมุ่งเน้นในการพัฒนาความเข้าใจต่อการเจริญเติบโต และศึกษาสมบัติพื้นฐานของผลึก เป็นจุดเริ่มต้นของการพัฒนาคุณสมบัติต่างๆ ของวัสดุอย่างกว้างขวาง เพราะวัสดุที่ความสำคัญมากขึ้นในการพัฒนาเทคโนโลยีต่างๆ เช่น อิเล็กทรอนิกส์ การสื่อสารโทรคมนาคม เป็นต้น

วัสดุเชิงหัตถศาสตร์แบบไม่เป็นเส้น (nonlinear optical materials) ถูกพัฒนาและประยุกต์ใช้ในอุปกรณ์ต่างๆ โดยอาศัยสมบัติที่สามารถเปลี่ยนแปลงค่าความถี่ของแสงให้มีค่าความถี่เพิ่มขึ้นหรือลดลง [2]

สารที่มีคุณสมบัติทางแสงแบบไม่เป็นเส้นหลายชนิดมีความไปร่วมแสงต่ำ ทำให้มีข้อจำกัดในการประยุกต์ใช้งาน แต่อย่างไรก็ตาม สารแอมโมโนเนียมไดอะมอนฟอฟอสเฟต (ammonium dihydrogen phosphates; ADP) มีสมบัติทางแสงแบบไม่เป็นเส้นและมีความไปร่วมแสงสูง [3 4] ทำให้ถูกศึกษาอย่างกว้างขวาง โดยปกติสาร ADP ถูกปลูกด้วยวิธีแบบใช้สารละลาย แล้วให้ตัวทำละลายระเหยไปอย่างช้าๆ เกิดการตกผลึก ซึ่งจะได้ผลึกเดียวที่มีขนาดใหญ่ แต่ผลึกที่ปลูกได้มีสิ่งเจือปน ทำให้ผลึกที่ได้มีคุณภาพดี โครงการนี้จึงต้องการศึกษาและพัฒนาวิธีการปลูกผลึกที่ให้ผลึกที่มีสิ่งเจือปนต่ำ เพื่อปรับปรุงคุณภาพผลึกให้สูงขึ้น

การปลูกผลึกที่มีคุณภาพสูงมีหลายวิธี แต่วิธีการปลูกแบบทิศทางเดียว มีต้นทุนต่ำและอุปกรณ์ไม่ซับซ้อน ดังนั้น โครงการนี้จึงเลือกวิธีการปลูกผลึกแบบทิศทางเดียว มาปลูกผลึก ADP แต่อย่างไรก็ตาม สาร ADP มีข้อจำกัดในการนำไปประยุกต์ใช้งาน วิธีการปรับปรุงสมบัติของผลึกสามารถทำได้หลายวิธี แต่วิธีการเจือสารต่างๆ ลงในผลึก จะทำให้สามารถปรับเปลี่ยนสมบัติของผลึกได้ตามต้องการ ในโครงการนี้ เลือกวิธีการเจือกรดทาร์หาริคลงไปในผลึก ADP เพื่อปรับเปลี่ยนสมบัติเพื่อปรับปรุงคุณภาพ เนื่องจากมีงานวิจัย [5] ชี้ว่ากรดทาร์หาริคสามารถเพิ่มสมบัติเพื่อปรับปรุงคุณภาพที่เจือได้ ดังนั้น จึงมีความเป็นไปได้ที่จะปรับเปลี่ยนสมบัติเพื่อปรับปรุงคุณภาพของผลึก ADP ด้วยการเจือกรดทาร์หาริค

### 1.2) วัตถุประสงค์ของโครงการ

1.2.1. เพื่อศึกษาการปูรุกผลึกแอมโมเนียมไดอิโตรเจนฟอสเฟต ที่ถูกเจือด้วยกรดหาร์หาริก มีคุณลักษณะแตกต่างกันอย่างไร

1.2.2. เพื่อศึกษาสมบัติของผลึกที่ปูรุกในด้านต่างๆ เช่น โครงสร้าง สมบัติทางไดอิเล็กทริก และสมบัติเพอร์โอะลีเอ็กทริก

### 1.3) ขอบเขตของโครงการ

1.3.1. การปูรุกผลึกแบบดั้งเดิมและแบบวิธีแบบพิเศษเดียว ถูกทดลองที่ ภาควิชาฟิสิกส์ คณะวิทยาศาสตร์ มหาวิทยาลัยมหาสารคาม

1.3.2. ในการปูรุกผลึก ADP และเจือด้วยกรดหาร์หาริก เป็นหลักในการทดลองการปูรุกผลึก จากรัฐบาลไทย

1.3.3. ศึกษาคุณสมบัติต่างๆดังนี้

- ศึกษาโครงสร้างของผลึก (X-ray diffraction)

- ศึกษาการวิเคราะห์หาหมู่ฟิงก์ชัน (Fourier transform infrared spectroscopy)

- ศึกษาค่าคงที่ไดอิเล็กทริก (dielectricity)

- ศึกษาคุณสมบัติเพอร์โอะลีเอ็กทริก (ferroelectricity)

### 1.4) สถานที่ที่ทำโครงการ

1.4.1. ห้องวิจัยการปูรุกผลึก ห้อง SC2-407/2 ภาควิชาฟิสิกส์ คณะวิทยาศาสตร์ มหาวิทยาลัยมหาสารคาม

1.4.2. ศูนย์เครื่องมือกลาง คณะวิทยาศาสตร์ มหาวิทยาลัยมหาสารคาม

1.4.3. ภาควิชาฟิสิกส์ คณะวิทยาศาสตร์ มหาวิทยาลัยเทคโนโลยีสุรนารี

### 1.5) ประโยชน์ที่ได้รับ

1.5.1. ได้เงื่อนไขเบื้องต้นในการปูรุกผลึก ADP ด้วยเทคนิคต่างๆ

1.5.2. ได้เงื่อนไขเบื้องต้นในการเจือด้วยกรดหาร์หาริกลงในผลึก ADP

## บทที่ 2

### หุ่นยนต์และเอกสารงานวิจัยที่เกี่ยวข้อง

ในบทนี้จะกล่าวถึงหุ่นยนต์พื้นฐานและเอกสารงานวิจัยที่เกี่ยวข้องกับการปัลกผลึก โดยเน้น การปัลกผลึกจากสารละลาย ทั้งวิธีแบบดั้งเดิมและวิธีแบบทิศทางเดียว นอกจากนี้ ยังรวมถึงการ วิเคราะห์สมบัติของผลึกต่างๆ ที่สำคัญ เพื่อเป็นแนวทางการศึกษาการปัลกผลึกและโมเนี่ยนได้ ไฮโดรเจนฟอสเฟตและผลึกแอมโนเนี่ยนได้ไฮโดรเจนฟอสเฟตที่ถูกเจือด้วยกรดหาร์หาริก

#### 2.1) ผลึก

ผลึก คือ ของแข็งที่โครงสร้างภายในมีการจัดเรียงตัวของอนุภาค (อะตอม ไอออนหรือ โมเลกุล) อย่างเป็นระเบียบในสามมิติ แล้วก่อตัวเป็นรูปเรขาคณิตเฉพาะตัวของสารแต่ละชนิด ผลึก ประกอบด้วยหน่วยผลึกที่มีขนาดเล็กจำานวนมาการรวมตัวกัน กระบวนการที่สารเปลี่ยนสถานะเป็น ของแข็ง เรียกว่า โซลิดิฟิเคชัน (solidification) มี 3 อัญวูป ได้แก่ ผลึกเดี่ยว ผลึกหลายรูป และอสุญ ฐาน ตั้งภาพที่ 2.1 ซึ่งโครงงานนี้มุ่งเน้นการปัลกผลึกเดี่ยว ซึ่งเป็นของแข็งชนิดนี้จะมีการเรียงตัวของ อนุภาคอย่างเป็นระเบียบทั้งก้อน โดยปกติผลึกที่ได้จะมีรูทรงเรขาคณิตและมีมุมะระหว่างผิวที่ แบนนอน



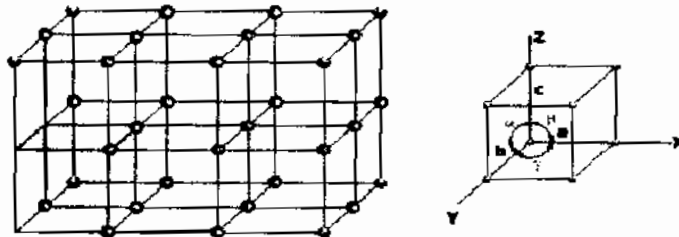
ภาพที่ 2.1 ลักษณะของของแข็ง (ก) ผลึกเดี่ยว (ข) ผลึกพอลิคริสตัลไลน์ (ค) อสุญฐาน[6]

##### 2.1.1. โครงสร้างผลึก

โครงสร้างของผลึกประกอบด้วยอะตอมหรือโมเลกุลที่มีการจัดเรียงตัวกันอย่างเป็น ระเบียบโครงข่ายสามมิติ เรียกว่า ผลตทิช (lattice) และจุดตัดบนโครงข่ายดังกล่าว เรียกว่า จุด ผลตทิช (lattice point) อะตอมพื้นฐานของมลีกจะต้องอยู่ที่จุดผลตทิชอย่างเป็นระเบียบและต่อเนื่อง ทั้งโครงข่ายผลตทิช ตั้งภาพที่ 2.2

หน่วยเซลล์เป็นองค์ประกอบพื้นฐานของผลึก โดยเกิดจากอะตอมหรือโมเลกุลของสารมา จัดเรียงตัวกันอย่างเป็นระเบียบแบบโครงข่ายสามมิติ หน่วยเซลล์ของผลึกถูกกำหนดด้วยลักษณะสมบัติ ด้วยความยาวทั้งสามด้าน (a b และ c) และมุมทั้งสาม ( $\alpha$   $\beta$  และ  $\gamma$ ) ซึ่งถูกเรียกว่า ผลตทิชพารามิเตอร์ (lattice parameters) ซึ่งผลตทิชพารามิเตอร์และสมบัติความสมมาตรของผลึกเป็นปัจจัยที่ สำคัญในการกำหนดสมบัติต่าง ๆ ของผลึก เช่น ความแข็ง การตัดกลืนแสง และ สถาปัตยกรรมของ

อิเล็กตรอน ดังนั้น โครงสร้างผลึกจะประกอบไปด้วยองค์ประกอบหลัก 2 ส่วนคือ แอลติช และ เบซิส (หรือ โนทิฟ) [10]



ภาพที่ 2.2 โครงสร้าง แอลติช จุดแลติช และหน่วยเซลล์ [7]

โดยปกติการจัดเรียงจุดแลติชมีหลายแบบ ประกอบกับเบซิสเดกต่างกันไปตามชนิดของผลึก ทำให้แลติชพารามิเตอร์ต่างกัน อย่างไรก็ตาม ผลึกที่มีแลติชพารามิเตอร์คล้ายกันจะมีสมบัติเหมือนกัน ดังนั้น จึงมีการจัดกลุ่มโครงสร้างผลึกโดยใช้แลติชพารามิเตอร์เป็นตัวกำหนด ดังแสดงในตารางที่ 2.1

ตารางที่ 2.1 ระบบผลึกทั้ง 7 กลุ่ม 14 แบบ

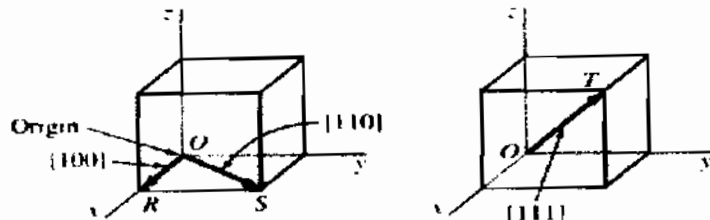
ระบบผลึก	ความยาวด้าน	ขนาดนูน	ชนิดหน่วยเซลล์
ลูกบาศก์	$a=b=c$	$\alpha = \beta = \gamma = 90^\circ$	
เดตระโนนอล	$a=b \neq c$	$\alpha = \beta = \gamma = 90^\circ$	
รอมเบอิตรัสล	$a \neq b \neq c$	$\alpha = \beta = \gamma = 90^\circ$	
เยกษะโนนอล	$a=b \neq c$	$\alpha = \beta = 90^\circ, \gamma = 120^\circ$	
ออโรรอมบิก	$a \neq b \neq c$	$\alpha = \beta = \gamma \neq 90^\circ$	
โนโนนคลินิก	$a \neq b \neq c$	$\alpha = 90^\circ \neq \beta$	
ไครคลินิก	$a \neq b \neq c$	$\alpha \neq \beta \neq \gamma \neq 90^\circ$	

โดยที่   
 α คือ มุมระหว่างแกน a กับแกน b  
 β คือ มุมระหว่างแกน b กับแกน c  
 γ คือ มุมระหว่างแกน a กับแกน c

ในปี ก.ศ.1848 Auguste Bravais นักพลังวิทยาชาวฝรั่งเศส ได้เสนอการจัดระบบพื้นฐานของโครงสร้างผลึก ซึ่งในภายหลังถูกใช้เป็นหลักมาตรฐานในการจัดระบบผลึก โครงสร้างผลึกมีอยู่ 6 แบบ ตามผลตพิชพารามิเตอร์ จะแบ่งได้ 7 กลุ่ม คือ cubic, tetragonal, hexagonal, orthorhombic, rhombohedral, monoclinic และ triclinic [8]

### 2.1.2. ทิศทางและระนาบของผลึก

ทิศทางและระนาบต่างๆ ของโครงสร้างผลึก ถูกใช้ในการศึกษาสมบัติของผลึก เพราะผลึกที่ต่างชนิดจะมีระนาบและทิศทางที่ต่างกัน ซึ่งเป็นลักษณะสมบัติเฉพาะของผลึก การบอกริทิศทางในผลึก นิยมบอกรเป็นตัวเลขจำนวนเต็มที่น้อยที่สุด ซึ่งตัวเลขดังกล่าวได้จากการกำหนดด้วยตัวเริ่มต้นที่มุนหรือคำแนะนำของatomได้ๆ ของหน่วยเซลล์ แล้วลากเวกเตอร์นั้นไปตามทิศทางที่ต้องการ และสิ้นสุดที่จุดเดลทิช จะได้เวกเตอร์บอกริทิศทางตามต้องการ โดยทั่วไป กำหนดให้จุดตัดของห้องสามแกน (จุด O) เป็นจุดเริ่มต้นของเวกเตอร์บอกริทิศทาง ดังแสดงในภาพที่ 2.3 จากนั้นหาองค์ประกอบของห้องต่างๆ มาใส่ในวงเล็บ [ ] จะได้ดังนี้ของทิศทาง (direction indices) คือ  $[uvw]$  กรณีท่องค์ประกอบมีค่าลบ ให้เขียนเครื่องหมายลบไว้หน้าค่าองค์ประกอบนั้น เช่น ถ้าค่าตามแกน x เป็นลบจะให้ทิศทางเป็น  $[-uvw]$



ภาพที่ 2.3 ตัวอย่างทิศทางของผลึกในหน่วยเซลล์ [7]

ในการนับทิศทางนานกัน จะมีค่าดัชนีของทิศทางชุดเดียวกัน โดยเวกเตอร์ที่นานกันนี้อาจจะมีค่าบวกหรือลบแตกต่างกัน ซึ่งเกิดมาจากการกำหนดแกนอ้างอิงไม่ตรงกัน เช่น

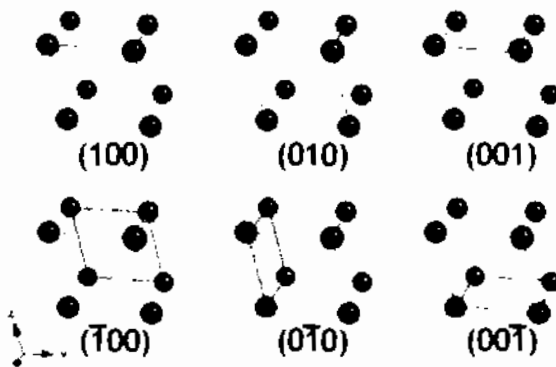
$$\langle 100 \rangle = [100] [010] [001] [\bar{1}00] [\bar{0}10] [\bar{0}01]$$

ดังนั้น กลุ่มของดัชนีทิศทางในลักษณะนี้ ซึ่งถูกกำหนดให้เป็นชุดดัชนีของทิศทางและมีสัญลักษณ์ คือ  $\langle b\bar{v}\bar{w} \rangle$

ในการนับของระนาบ (plane) ภายในผลึกนั้น จะใช้ดัชนีมิลเลอร์ (Miller indices) เป็นตัวบอกรักษณะของระนาบ ดัชนีมิลเลอร์นี้เป็นชุดตัวเลขที่ได้มาจากการกำหนดแกนอ้างอิงของจุดตัดของระนาบกับแกนของหน่วยเซลล์

การหาค่าดัชนีมิลเลอร์ของรูบบาน มีขั้นตอนดังนี้

1. กำหนดแกนอ้างอิง 3 แกนในหน่วยเซลล์ โดยต้องเลือกจุดกำเนิดไม่ให้อยู่บนรูบบานที่ต้องการหาดัชนีมิลเลอร์
2. หาจุดตัดของรูบบานกับแกนอ้างอิงทั้งสาม แล้วหาระยะห่างจากจุดตัดถึงจุดกำเนิด โดยวัดตามสัดส่วนของแกนที่ต้องการ หรือหันหน่วยแกน สมมุติให้ ค่าที่อ่านได้เป็น  $x \ y \ z$  ตามลำดับ
3. หาเศษส่วนกลับของระยะจุดตัดดังกล่าว จะได้  $\frac{1}{x} \ \frac{1}{y} \ \frac{1}{z}$
4. แปลงค่าเศษส่วนที่ได้จากข้อ 3 ให้เป็นเลขจำนวนเต็มค่าน้อยที่สุด โดยคงสัดส่วนระหว่างค่าทั้งสามไว้ดังเดิม จะได้ค่า  $h \ k \ l$  ตามลำดับ
5. เชียนค่า  $h \ k \ l$  เป็นวงเล็บ () จะได้ดัชนีมิลเลอร์ของรูบบาน คือ  $(h \ k \ l)$



ภาพที่ 2.4 รูบบานต่างๆ ของผลึก [7]

ภาพที่ 2.4 แสดงรูบบานของหน่วยเซลล์ ซึ่งถูกจัดอยู่ในกลุ่มรูบบานเดียวกัน รูบบานเหล่านี้จะมีสมบัติเหมือนกัน แต่ค่าดัชนีมิลเลอร์มีค่าแตกต่างกัน ไปตามจุดตัดแกนที่แตกต่างกัน ดังนั้น เพื่อความสะดวกในการระบุรูบบาน จึงกำหนดสัญลักษณ์ของกลุ่มรูบบาน คือ () เช่น กลุ่มรูบบาน {100} หมายถึง รูบบานต่างๆ 6 รูบบาน ดังนี้ [9]

$$\{100\} = (100)(010)(001)(100)(010)(001)$$

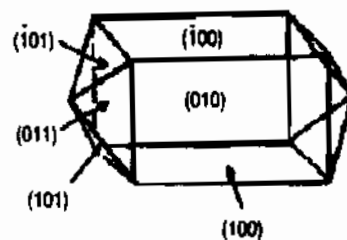
## 2.2) แอมโมเนียมไดไฮดรอเจนฟอสเฟต

แอมโมเนียมไดไฮดรอเจนฟอสเฟต (ADP) คือวัสดุที่ศูนยาstatrini เป็นเชิงเส้นที่มีสมบัติแอนติเฟอร์โรอิเล็กทริกและเพียโซอิเล็กทริก มีสูตรโมเลกุล  $\text{NH}_4\text{H}_2\text{PO}_4$  และค่า pH 3.8 - 4.4 เป็นสารที่ยืดเกางันด้วยพันธะไฮดรอเจน [10] ผลึก ADP เป็นของแข็งที่มีลักษณะแข็งแต่เปราะ มีจุดหลอมเหลว และจุดเดือดสูง ทำให้มีเหมาะสมกับการปัจกผลึกด้วยวิธีของเหลวหลอมละลาย แต่อย่างไรก็ตาม โมเลกุล ADP ประกอบด้วยไอออนบากและไอออนลบที่มีขนาดไอออนแตกต่างกัน มีการยืดเกางันด้วยพันธะไฮดรอเจน ทำให้สามารถละลายน้ำได้ดี จึงเหมาะสมกับการปัจกผลึกด้วยวิธีสารละลาย ในสภาวะของแข็ง สาร ADP ไม่นำไฟฟ้า แต่สารละลาย ADP สามารถนำไฟฟ้าได้ดี

ผลึก ADP มีโครงสร้างแบบเตต拉โนโนล ( $a=b\neq c$ ) โดยผลิตพิชพารามิเตอร์  $a=b=7.510 \text{ \AA}$  และ  $c = 7.564 \text{ \AA}$  โดย  $\alpha = \beta = \gamma = 90^\circ$  มีความไม่เป็นเรียงเส้นสูง และทนทานต่อความเสียหายของเลเซอร์ได้ดี มีค่าความถี่ซึ่งเริ่มต้นต่ำและมีช่วงการส่องผ่านของแสงที่กว้าง ทำให้ผลึก ADP ถูกศึกษาอย่างกว้างขวาง



ภาพที่ 2.5 ผลึก ADP บริสุทธิ์



ภาพที่ 2.6 ลักษณะของผลึก ADP [11]

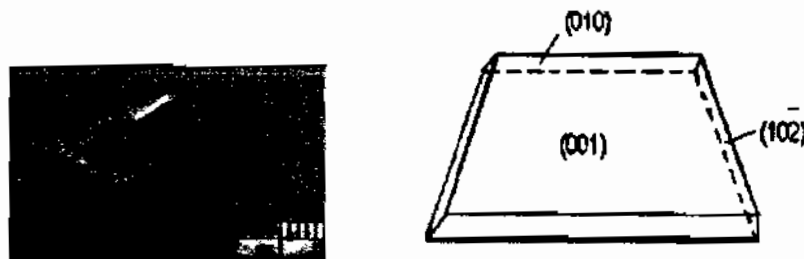
จากการศึกษาเกี่ยวกับผลกระทบของสิ่งเจือปนในการเจริญการเติบโตของผลึก ADP พบว่า การเติมสิ่งเจือปนลงในผลึก จะส่งผลโดยตรงต่ออัตราการเจริญเติบโตของผลึก ADP ขึ้นกับชนิดของสารเจือ จากภาพที่ 2.5 สังเกตว่าผลึกไม่平整ใส่ห้องขึ้น แสดงให้เห็นว่ามีความไม่สมบูรณ์ที่ผิวของผลึก ซึ่งอาจเกิดจากสิ่งเจือปนหรือความบกพร่องของผลึก ภาพที่ 2.6 จะแสดงลักษณะของผลึก ADP บริสุทธิ์ในอุดมคติที่มีความสมบูรณ์

ในการเตรียมขั้นสารสำหรับใช้เป็นผลึกต่อหรือซีด (seed) จะต้องควบคุมอุณหภูมิกับความเข้มข้นของสารละลายอย่างเหมาะสม จะทำให้ผลึก ADP มีผิวน้ำเรียบลśniย์มีหน้าตัดขนาดใหญ่สามารถเตรียมเป็นผลึกล่อ เพื่อใช้ในการปลูกผลึกแบบทิศทางเดียว โดยซีดที่ใช้จะต้องมีผิวน้ำเรียบไม่มีรอยแตกและไม่มีจุดบกพร่อง

### 2.3) กรรมทาร์ทาริก

กรรมทาร์ทาริกเป็นกรดอินทรี (organic acid) มีสูตรโมเลกุล  $C_4H_6O_6$  ผลึกกรรมทาร์ทาริก เป็นวัสดุหัศบนศาสตร์ไม่เป็นเรียงเส้นและมีสมบัติเพียงโซ่อิเล็กทริก เป็นผลึกที่ยืดเทาสีกันด้วยพันธะไฮโดรเจน ผลึกกรรมทาร์ทาริกมีโครงสร้างแบบบอโรรมบิก ( $a=b\neq c$ ) โดยผลิตพิชพารามิเตอร์  $a = 5.056 \text{ \AA}$ ,  $b = 9.824 \text{ \AA}$ , และ  $c = 1.72 \text{ \AA}$  [12] ผลึกกรรมทาร์ทาริกเป็นกรดที่เกิดขึ้นตามธรรมชาติในผลไม้ เช่น อุ่น มะขาม เป็นต้น สามารถนำไปประยุกต์ใช้ในอุตสาหกรรมอย่างกว้างขวาง ภาพที่ 2.7 แสดงลักษณะของผลึกกรรมทาร์ทาริกที่ได้จากการปลูกด้วยวิธีแบบตั้งเดิมและผลึกกรรมทาร์ทาริกในอุดมคติที่สมบูรณ์

โครงการนี้ศึกษาผลึกแอมโมเนียมไฮโดรเจนฟอสเฟต ซึ่งไม่เป็นกรดทาร์ทาริกสามารถแทรกอยู่ในโครงสร้างของผลึก ADP ได้ ดังนั้น กรรมทาร์ทาริกจึงถูกใช้เป็นสารเจือในโครงการนี้



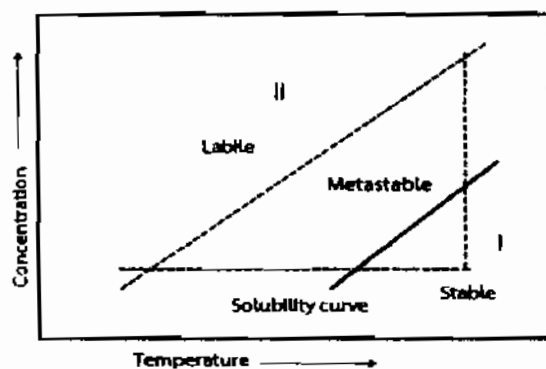
ภาพที่ 2.7 โครงสร้างและลักษณะการหาร์ทาริก [13]

#### 2.4) วิธีปั๊มสักหลังจากสารละลาย

การปั๊มสักหลังมีหลายวิธี แต่โครงการนี้ใช้วิธีการปั๊มจากสารละลาย ซึ่งจะทำการปั๊ม 2 แบบ คือ การปั๊มลักษณะแบบตั้งเดิมและการปั๊มแบบทิศทางเดียว ดังต่อไปนี้

##### 2.4.1. การปั๊มลักษณะแบบตั้งเดิม

การปั๊มสักหลังจากสารละลายเป็นการนำสารละลายไปละลายกับตัวละลายที่เหมือนกันเกิด สภาวะอิมตัว แล้วทำให้ตัวทำละลายระเหยไปอย่างช้าๆ เพื่อให้สารละลายอยู่ในสภาวะอิมตัวยิ่งยาวย และทำให้ไม่เลступของตัวถูกละลายมีเวลามากพอที่ก่อตัวขึ้นอย่างเป็นระเบียบ โดยตัวถูกละลายจะแยกตัวออกจากสารละลายในรูปของแข็งที่มีการจัดเรียงตัวเฉพาะของสารแต่ละชนิด กระบวนการนี้เรียกว่า การตกผลึก



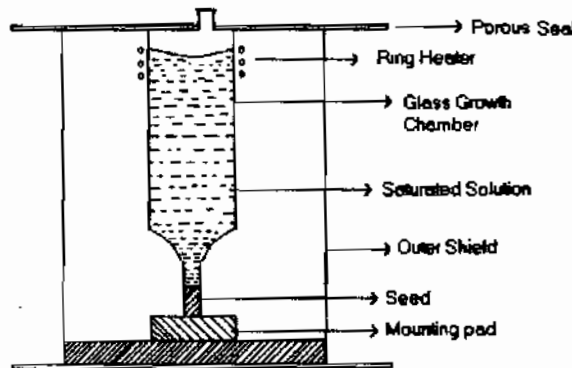
ภาพที่ 2.8 ความสัมพันธ์ระหว่างอุณหภูมิกับความเข้มข้นของสารละลาย

จากภาพที่ 2.8 จะอธิบายความสัมพันธ์ระหว่างอุณหภูมิกับความเข้มข้นสารละลาย พบว่า กราฟถูกแบ่งออก สองบริเวณ ด้วยเส้นค่าความสามารถในการละลาย (solubility curve) ที่อุณหภูมิต่างๆ บริเวณที่หนึ่งเป็นบริเวณที่ไม่สามารถเกิดผลึกได้ เนื่องจากบริเวณใต้เส้นค่าความสามารถในการละลาย สารละลายอยู่ในสภาวะไม่อิมตัว เรียกบริเวณนี้ว่า stable zone

บริเวณที่สอง เป็นบริเวณที่อยู่เหนือเส้นค่าความสามารถในการละลาย ซึ่งเป็นบริเวณที่สารละลายเกิดสภาพะอื้มด้วย บริเวณนี้สามารถถูกแบ่งออกเป็น สองบริเวณย่อย คือ metastable zone และ labile zone ในบริเวณ metastable zone บริเวณนี้สารละลายอยู่ในสภาพะอื้มด้วย อิ่งiyawd เล็กน้อย ผลึกสามารถแยกตัวออกจากตัวทำละลายและเจริญเติบโตได้เมื่อถูกกระตุ้นจากภายนอก วิธีการหนึ่งที่นิยมใช้กระตุ้นการเกิดผลึก คือ การใช้ชีดเป็นตัวล่อเพื่อเน้นนำให้เกิดผลึก ในขณะที่บริเวณ labile zone เป็นบริเวณที่ไม่สามารถควบคุมการเจริญเติบโตของผลึกได้ ผลึกจะเกิดอย่างไม่เป็นระเบียบ ดังนั้นการปลูกผลึกจากสารละลายต้องควบคุมอุณหภูมิกับความเข้มข้นของสารละลายให้อยู่ในบริเวณ metastable zone

#### 2.4.2 การปลูกผลึกแบบทิศทางเดียว (SR)

Sankaranarayanan และ Ramasamy เป็นนักพัฒนาอินเดีย ได้ทำการศึกษาคิดค้นการปลูกผลึกแบบทิศทางเดียว ซึ่งเป็นวิธีการปลูกผลึกโดยบังคับให้ผลึกมีการเจริญเติบโตในทิศทางเดียว การติดตั้งอุปกรณ์การปลูกผลึกด้วยวิธีนี้ แสดงตั้งภาพที่ 2.9 อุปกรณ์สำหรับการปลูกผลึกด้วยวิธีนี้ประกอบไปด้วย หลอดทดลองที่วางอยู่ในอ่างน้ำและมีจุดความร้อนเป็นตัวควบคุมอุณหภูมิ (ring heater) โดยผลึกล่อหรือชีดจะถูกวางไว้ด้านล่างของหลอดทดลอง ดังภาพ



ภาพที่ 2.9 วิธีปลูกผลึกแบบทิศทางเดียว [14]

การปลูกผลึกแบบทิศทางเดียวนี้ เป็นวิธีการปลูกผลึกโดยการเลือกรอบและทิศทางการเกิดผลึกตามที่ต้องการ โดยใช้ชีดเป็นตัวเหนี่ยวนำให้เกิดผลึกตามรอบที่กำหนดไว้ จากนั้นเติมสารละลายลงในหลอดทดลองแล้วควบคุมอุณหภูมิ โดยด้านบนจะมีความเข้มข้นต่ำจึงทำให้เกิดสภาพะอื้มด้วยและที่ตำแหน่งต่ำลง ความเข้มข้นจะเพิ่มสูงขึ้น จนทำให้เกิดสภาพะอื้มด้วยiyawd บริเวณสารละlays ที่ติดกับผิวชีด ทำให้ผลึกเริ่มเจริญเติบโตตามรอบหรือทิศทางของชีด

การปลูกผลึกจากสารละลายด้วยเทคนิคการปลูกแบบทิศทางเดียว ได้รับความนิยมแพร่หลาย เพราะสามารถนำไปใช้ปลูกผลึกเชิงพัฒนาศาสตร์ที่ไม่เป็นเชิงเส้น สะสมผลึกของสารอื่นๆ ใช้ต้นทุนในการปลูกผลึกต่ำ นอกจากนี้ งานวิจัย [15] แสดงว่า ผลึกที่ปลูกด้วยวิธีนี้มีคุณภาพที่ดีขึ้น ทั้งสมบัติทางแสงและลักษณะทางกายภาพ

## 2.5) เครื่องมือการวิเคราะห์สมบัติของผลึก

### 2.5.1. การศึกษาการเลี้ยวเบนรังสีเอกซ์

การเลี้ยวเบนของรังสีเอกซ์ ถูกใช้ในการศึกษาโครงสร้างผลึก เพื่อดูการจัดเรียงตัวของอะตอม หรือโมเลกุลของสารประกอบต่างๆ โดยสามารถวิเคราะห์ทางค่าประกอบของสารประกอบนั้นๆ ได้ทั้งเชิงปริมาณและเชิงคุณภาพ โดยอาศัยปรากฏการณ์เลี้ยวเบนของรังสีเอกซ์ ที่เกิดขึ้นตามกฎของแบรกก์

แบรกก์ได้แสดงให้เห็นว่าปรากฏการณ์เลี้ยวเบนของรังสีเอกซ์ของอะตอมในผลึกเป็นลักษณะเดียวกันกับการสะท้อนแสงของกระดาษเงา เมื่อจากอะตอมในผลึกมีการจัดเรียงตัวเป็นระเบียบ ทำให้เกิดชุดระนาบของอะตอมหลายชุดในโครงสร้างผลึก รังสีเอกซ์ที่ใช้ในการศึกษาการเลี้ยวเบนรังสีเอกซ์ ได้จากการให้กระแสไฟฟ้าที่ข้าวแครอท เพื่อให้อิเล็กตรอนหลุดออกมานะ ในขณะเดียวกันให้ความต่างศักย์ระหว่างข้าวแครอทและแอโนด เพื่อให้อิเล็กตรอนจากข้าวแครอทวิ่งเข้าชนเป้าที่ข้าวแอโนด ส่งผลให้เกิดการปลดปล่อยรังสีเอกซ์ออกจากม่าน

เมื่อนำรังสีเอกซ์ที่ได้มาฉายลงบนผลึกชิ้นสารตัวอย่าง ลำรังสีเอกซ์ส่วนใหญ่เมื่อผ่านผลึกจะไม่เกิดการเปลี่ยนแปลง แต่บางส่วนจะสะท้อนและกระจายออกไปในหลายทิศทาง ซึ่งเป็นรูปแบบเฉพาะที่ไม่ต่อเนื่องของผลึกแต่ละชิ้น บุมของรังสีเอกซ์ที่สะท้อนออกมานะสามารถใช้ศึกษาขนาดรูปร่าง และสมมาตรของหน่วยเซลล์ ซึ่งเส้นสเปกตรัมที่ได้เป็นริ้วรอยการแทรกสอดที่เกิดจากการเลี้ยวเบนในโครงสร้าง เมื่อจากรังสีเอกซ์ที่สะท้อนออกจากระนาบทุกหนึ่งๆ จะมีการแทรกสอดแบบเสริมสร้างกัน เมื่อระยะทางแต่ละลำรังสีที่ตัดกันจะมีความแตกต่างกันเป็นจำนวนเต็มเท่าของความยาวคลื่นของรังสีเอกซ์ ดังสมการที่ 2.1

$$2d \sin \theta = n\lambda \quad (2.1)$$

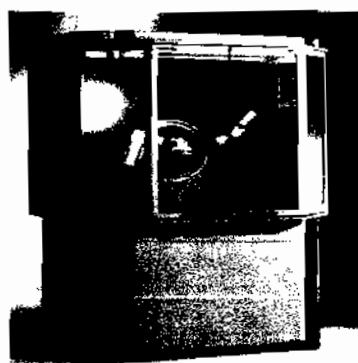
เมื่อ  $n$  คือ เลขจำนวนเต็ม 1, 2, 3,...

$d$  คือ ระยะห่างระหว่างระนาบ

$\theta$  คือ มุมสะท้อนจากระนาบทองอะตอมซึ่งเท่ากับมุมตกกระทบ

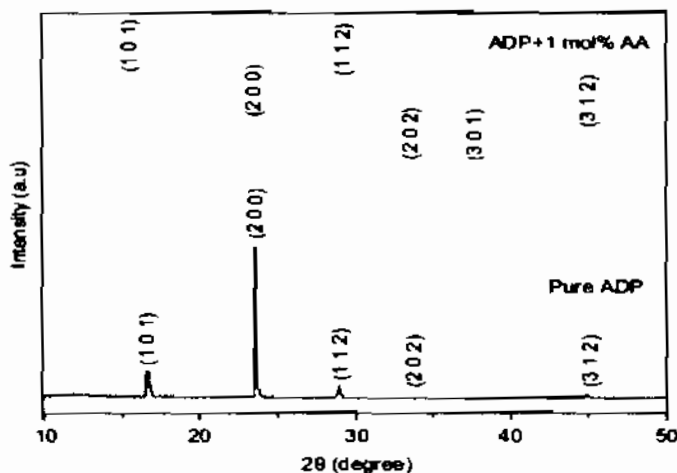
$\lambda$  คือ ความยาวคลื่นของรังสีเอกซ์

เมื่อใช้รังสีเอกซ์ที่มีความยาวคลื่นใกล้เคียงกับระยะห่างของอะตอมภายในผลึก และหมุนผลึกทำบุนต่างๆ กับแสงที่ตกกระทบ แสงที่เลี้ยวเบนออกมานะจะได้จะมีรูปแบบเฉพาะของสารแต่ละชิ้นเดียวกันนี้เรียกว่ารังสีเอกซ์ความยาวคลื่นเดียวที่ตกกระทบชิ้นสารตัวอย่างเป็นมุม  $\theta$  ทำให้ต้องเคลื่อนอุปกรณ์การตรวจวัดสัญญาณรังสีเอกซ์ให้หมุนไปเป็นมุม  $2\theta$  เพื่อให้สามารถบันทึกรูปแบบการเลี้ยวเบนของผลึก ซึ่งจะสอดคล้องกับกฎของแบรกก์ ดังสมการที่ 2.1 แสดงตัวอย่างเครื่อง XRD รุ่น Bruker's x-ray diffraction D8-Discover



ภาพที่ 2.10 เครื่อง Bruker's x-ray diffraction D8-Discover [16]

ผลึกเตี้ยจะถูกบดให้ผงละเอียด แล้วอัดเป็นเม็ด เมื่อทำการวัด ผลึกเตี้ยวขนาดเล็กจำนวนมากที่จัดเรียงตัวอย่างไรทิศทางแบบสุ่ม ทำให้เกิดชุดรูปแบบ ( $hkl$ ) จำนวนมากภายในชั้นสารตัวอย่าง รายงานเหล่านี้จะสะท้อนของรังสีเอกซ์ โดยรังสีสะท้อนจะทำมุมกับแนวหางของรังสีเอกซ์  $\theta_{\text{ref}}$  เป็นไปตามกฎของแบร์ก์ เครื่อง XRD จะทำการบันทึกความเข้มข้นที่มุมต่างๆ ข้อมูลเหล่านี้จะถูกแสดงออกมาเป็นกราฟระหว่างความเข้มของรังสีที่สะท้อนออกมากับมุม  $2\theta$  จากข้อมูลที่ได้จะสามารถคำนวณหาค่าระยะห่างระหว่างรูปแบบ ( $d$ ) ได้ตามสมการของแบร์ก์ และสามารถบอกรักษณะของโครงสร้างผลึกได้



ภาพที่ 2.11 สเปกตรัมการเลี้ยวเบนรังสีเอกซ์ของผลึก ADP และเจือด้วย AA [17]

ภาพที่ 2.11 แสดงเส้นสเปกตรัมการเลี้ยวเบนของรังสีเอกซ์ของผลึกเตี้ยวและผลึกที่ถูกเจือด้วย แอมโมเนียม อัซิเตรส (AA) เมื่อทำการวิเคราะห์เส้นสเปกตรัมการเลี้ยวเบน จะสังเกตเห็นยอดรูปแบบ (101) (200) (112) (202) และ (312) ซึ่งเป็นลักษณะเด่นของผลึก ADP บริสุทธิ์ แม้จะเปรียบเทียบเส้นสเปกตรัมของผลึก ADP ที่ถูกเจือด้วย AA จะพบยอดของรูปแบบ (301) ที่เกิดขึ้นโดยเป็นผลจากการเจือด้วย แอมโมเนียม อัซิเตรส

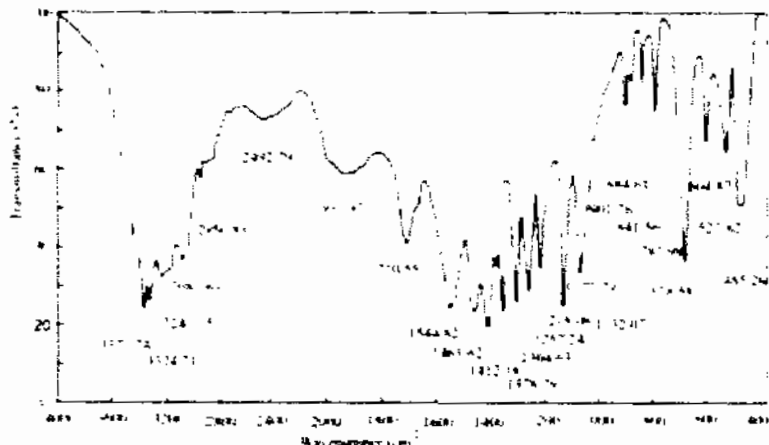
### 2.5.2. การศึกษาหมู่ฟังก์ชันด้วยเทคนิค FTIR

เทคนิค FTIR เป็นเครื่องมือที่ใช้ในการวิเคราะห์พันธะของโมเลกุลต่างๆ ซึ่งพันธะเหล่านี้จะแสดงถึงหมู่ฟังก์ชันภายในโมเลกุลของผลึกต่างๆ เทคนิคนี้สามารถวิเคราะห์ได้ทั้ง สารอินทรีย์ และ อินทรีย์ เป็นเทคนิคการวิเคราะห์ด้วยแสงชนิดหนึ่งที่ใช้แสงในย่านความถี่อินฟราเรด โดยการ วิเคราะห์หมู่ฟังก์ชันของสารตัวอย่าง วิธีการนี้อาศัยการคุกคักแสงที่แตกต่างกันของแต่ละพันธะใน โมเลกุล

แสงในช่วงเลขคลื่น  $4000 - 1500 \text{ cm}^{-1}$  จะใช้วิเคราะห์หมู่ฟังก์ชันของโมเลกุล ได้แก่ O-H C=O N-H และ CH<sub>3</sub> เป็นต้น ซึ่งหมู่ฟังก์ชันเหล่านี้สามารถตอบได้ในโมเลกุลทั่วไป ในขณะที่แสงในช่วง เลขคลื่น  $1500 - 400 \text{ cm}^{-1}$  อยู่ในช่วง fingerprint region ซึ่งสเปกตรัมในช่วงนี้แสดงลักษณะ เอกพัฒนาของสารแต่ละชนิด อย่างไรก็ตาม ยอดสเปกตรัมในช่วง fingerprint region จะมี ลักษณะซับซ้อน ดังนั้นการวิเคราะห์สเปกตรัมช่วงนี้จึงยุ่งยาก ในทางปฏิบัติ นิยมนำสเปกตรัมที่ได้ไป เปรียบเทียบกับไฟล์มาตรฐานหรืองานวิจัยที่เกี่ยวข้อง [18] เพื่อทำการวิเคราะห์หาหมู่ฟังก์ชัน ภาพที่ 2.12 แสดงตัวอย่างเครื่อง FTIR



ภาพที่ 2.12 เครื่อง FTIR



ภาพที่ 2.13 เส้นสเปกตรัมของผลึก ADP [19]

ภาพที่ 2.13 แสดงเส้นสเปกตรัมของผลึก ADP ซึ่งใช้ในการวิเคราะห์หาหมู่ฟังก์ชันของผลึก ADP พบว่า มีการตุ่นคลื่นแสงอินฟาร่าเดรที่แตกต่างกันในช่วงเลขคู่ 4000 - 400  $\text{cm}^{-1}$  โดยเส้นสเปกตรัมในช่วง 1500 - 400  $\text{cm}^{-1}$  จะแสดงถึงหมู่ฟังก์ชันต่างๆ ของผลึก ADP ได้แก่ ยอดสเปกตรัมในช่วง 1406  $\text{cm}^{-1}$  แสดงหมู่ฟังก์ชันของ P-O และยอดสเปกตรัมในช่วง 1092-1097  $\text{cm}^{-1}$  แสดงหมู่ฟังก์ชันของ P-O-H เป็นต้น

### 2.5.3. การศึกษาค่าคงที่ไดอิเล็กทริก

พาราเดียได้ทำการทดลองสร้างตัวเก็บประจุที่มีลักษณะเหมือนกับประการเข้ามาสองตัว โดยชี้ว่าระหว่างขนาดของตัวเก็บประจุตัวแรก คือ อากาศ และตัวเก็บประจุตัวที่สอง คือ ไดอิเล็กทริกชนิดหนึ่ง เมื่อตัวเก็บประจุทั้งสองได้รับค่าความต่างศักยไฟฟ้าเท่ากัน พบร่วมกัน พบว่าประจุบนตัวเก็บประจุของสารไดอิเล็กทริกคั่นระหว่างแผ่นขนาดจะมีค่าสูงกว่าประจุบนตัวเก็บประจุของอากาศ ระหว่างแผ่นขนาด

ไดอิเล็กทริก เป็นสมบัติหนึ่งของอนุนิไฟฟ้า เมื่อนำมาคั่นระหว่างแผ่นตัวนำในตัวเก็บประจุ จะทำให้สามารถเก็บสะสมพลังงานในรูปสนามไฟฟ้าระหว่างแผ่นตัวนำได้ โดยจะทำให้เกิดการเรียงตัวของโพลาไรเซชันขึ้นภายใต้เนื้อสารไดอิเล็กทริก ทำให้เกิดโครงสร้างของตัวเก็บประจุขึ้น ค่าความเก็บประจุจะเป็นสัดส่วนโดยตรงกับค่าคงที่ไดอิเล็กทริกของสารที่คั่นระหว่างแผ่นตัวนำตามการทดลองของพาราเดีย ดังนั้น การศึกษาค่าคงที่ไดอิเล็กทริกของสารต่างๆ รวมถึงค่าการสูญเสียไดอิเล็กทริก สามารถทำได้โดยการวัดค่าตัวเก็บประจุของสารนั้นๆ ที่ค่าสนามไฟฟ้าต่างๆ วัดได้จากวงจร RLC โดยโครงงานนี้ใช้ขั้นสารตัวอย่างที่มีสมบัติไม่น่าไฟฟ้า ซึ่งใช้ในการทดสอบค่าคงที่ไดอิเล็กทริก เมื่อนำมาวัดระหว่างตัวเก็บประจุ ดังแสดงในภาพที่ 2.14



ภาพที่ 2.14 เครื่อง Agilent E4980A สำหรับทดสอบค่าไดอิเล็กทริก

ในการนี้ที่จ่ายความต่างศักยไฟฟ้าให้กับตัวเก็บประจุเท่ากัน ความสามารถในการเก็บพลังงานในรูปสนามไฟฟ้า (ประจุ) จะขึ้นกับค่าคงที่ไดอิเล็กทริกที่คั่นระหว่างแผ่นตัวนำ โดยค่าความเก็บประจุ มีความสัมพันธ์กับศักยไฟฟ้าจากภายนอก ดังแสดงในสมการที่ 2.2

$$C = \frac{q}{V_{ab}} \quad (2.2)$$

$$C = \frac{\epsilon A}{d} \quad (2.3)$$

โดยที่  $C$  คือ ค่าความจุไฟฟ้า

$q$  คือ ประจุไฟฟ้า

$V_{ab}$  คือ ศักยไฟฟาระหว่างจุด  $a$  และจุด  $b$

$\epsilon$  คือ ค่าคงที่ไดอิเล็กทริก

$A$  คือ พื้นที่ของแผ่นตัวนำ

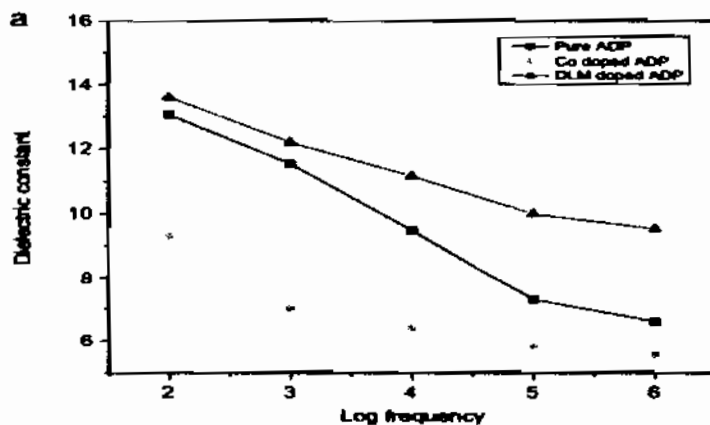
$d$  คือ ความหนาของสารไดอิเล็กทริก

สมการที่ 2.3 แสดงความสัมพันธ์ระหว่างค่าความเก็บประจุกับค่าคงที่ไดอิเล็กทริก ซึ่ง สอดคล้องการทดลองของฟาราเดย์ จะเห็นว่าความจุของตัวเก็บประจุใดๆ จะมีค่าเพิ่มขึ้นถ้าตัวเก็บประจุนั้นมีไดอิเล็กทริกคั่นระหว่างแผ่นนานทั้งสอง อัตราส่วนระหว่างความจุของตัวเก็บประจุใดๆ เมื่อไดอิเล็กทริกคั่น ( $\epsilon$ ) กับไม่มีไดอิเล็กทริกคั่น ( $\epsilon_0$ ) เรียกว่า ค่าคงที่ไดอิเล็กทริก ( $\epsilon_r$ ) ดังแสดงใน สมการที่ 2.4

$$\epsilon_r = \frac{\epsilon}{\epsilon_0} \quad (2.4)$$

สารไดอิเล็กทริกบางชนิดมีผลลัพธ์ที่มีข้อทำให้เกิดไฟฟ้าสถิติ แต่พิเศษของไฟฟ้า ไม่เป็นระเบียบ ดังนั้น ในสภาวะปกติที่ไม่มีสนามไฟฟ้าจากภายนอก จำไม่มีผลกระทบของไฟฟ้าไร้เชื้อน

แต่ในสภาวะที่ให้สนาณไฟฟ้าจากภายนอกแก่สารไดอิเล็กทริกจะทำให้เกิดการจัดเรียงตัวของไดโพลในทิศทางเดียวกันอย่างเป็นระเบียบ [20]



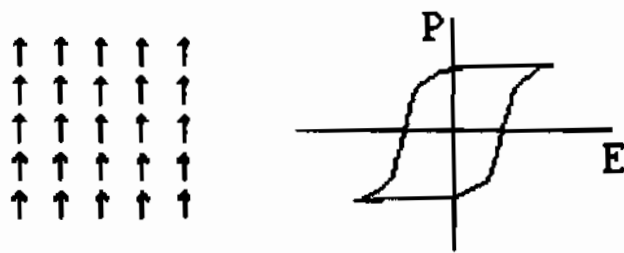
ภาพที่ 2.15 ค่าคงที่ไดอิเล็กทริกของผลึก ADP และ ADP เจือด้วย CO และ DLM [21]

ภาพที่ 2.15 ศึกษาค่าคงที่ไดอิเล็กทริก ระหว่างแกนนอนจะเป็นความถี่ และแกนตั้งจะเป็นค่าคงที่ไดอิเล็กทริก จากงานวิจัยพบว่าผลึก ADP เมื่อเจือกับสารอื่นจะทำให้ค่าคงที่ไดอิเล็กทริกเพิ่มขึ้นหรือลดลงได้ขึ้นอยู่กับสารเจือ

#### 2.5.4. การศึกษาสมบัติเพื่อปรับปรุงอิเล็กทริก

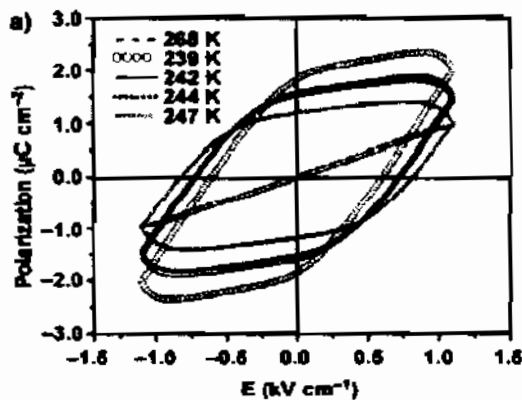
เพื่อปรับปรุงอิเล็กทริก คือการแสดงสมบัติใหม่เมื่อต่างไฟฟ้า โดยในสภาวะปกติ สารที่มีสมบัติเพื่อปรับปรุงอิเล็กทริกจะประกอบขึ้นจากโดยเมนของไดโพลโนเมนต์カラ์ ทิศทางของไดโพลจะเรียงตัวอย่างเป็นระเบียบในแต่ละโดยเมน อย่างไรก็ตาม โดยเมนต่างจะมีทิศทางแบบสุ่ม ทำให้มีมีค่าไฟคลายเชิงสุทธิ เมื่อให้สนาณไฟฟ้าจากภายนอกเข้ากระตุ้นการจัดเรียงตัวของโดยเมนเหล่านี้ จะทำให้โดยเมนกิตเรียงตัวไปตามทิศทางของสนาณไฟฟ้าอย่างเป็นระเบียบ จึงเกิดไฟคลายเชิงสุทธิขึ้น แม้ว่าจะหยุดจ่ายสนาณไฟฟ้าจากภายนอก โดยเมนเหล่านี้จะยังคงเรียงตัวอย่างเป็นระเบียบภายในเนื้อสาร ทำให้เกิดไฟคลายเชิงสุทธิ

ภาพที่ 2.16 แสดงให้เห็นว่า เมื่อ  $E = E_c$  สารมีโมเมนต์ชั้วคู่ถ้วน อาจกล่าวได้ว่าสารนี้แสดงสถานะเป็นเพื่อปรับปรุงอิเล็กทริก แต่อย่างไรก็ตาม พลังงานความร้อนสามารถห้ามการจัดเรียงตัวของโดยเมนได้ ดังนั้น สารเพื่อปรับปรุงอิเล็กทริกจะแสดงสมบัติได้ดังภาพที่ 2.16 จะต้องอยู่ในสภาวะที่พลังงานความร้อนไม่มากพอที่จะห้ามการจัดเรียงตัวของโดยเมนภายในเนื้อสาร ซึ่งเรียกอุณหภูมิสูงสุดที่สารยังคงสมบัติเพื่อปรับปรุงอิเล็กทริกได้ ว่า อุณหภูมิวิกฤต ( $T_c$ ) ซึ่งในสภาวะที่อุณหภูมิสูงกว่าอุณหภูมิวิกฤต ผลึกจะอยู่ในสถานะ พาราอิเล็กทริก [22]



ภาพที่ 2.16 ความสัมพันธ์ระหว่าง  $E$ - $P$  ของเพอร์โอะเล็กทริก [27]

ภาพที่ 2.17 แสดงกราฟการศึกษาสมบัติเพอร์โอะเล็กทริกของสารในกลุ่มหาร์ทาเรท โดยทดสอบที่อุณหภูมิต่างๆ ในช่วงอุณหภูมิต่ำกว่า 270 K พบว่า เมื่อนำกรดหาร์หาริกไปผสมกับสารอื่น ทำให้สารผสมที่ได้แสดงสมบัติเพอร์โอะเล็กทริก [23] โครงงานนี้ จึงเลือกใช้กรดหาร์หาริกลงในผลึก ADP เพื่อปรับเปลี่ยนสมบัติเพอร์โอะเล็กทริกของผลึก ADP



ภาพที่ 2.17 ค่าโพลาไรเซชันของสารในกลุ่มหาร์ทาเรท [24]

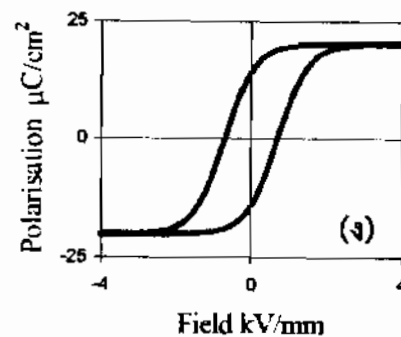
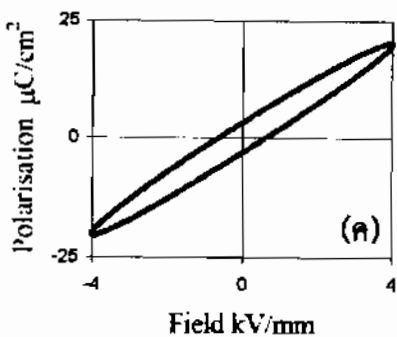
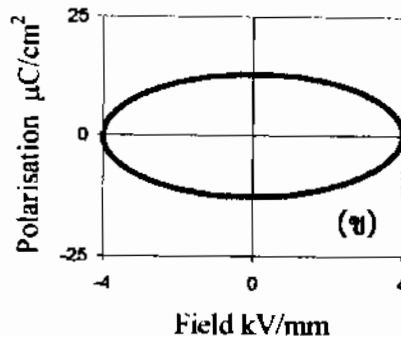
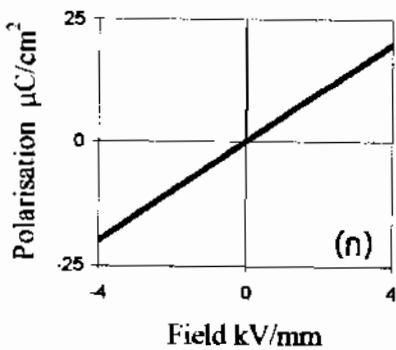
การความสัมพันธ์ระหว่างค่าโพลาไรเซชันกับสนามไฟฟ้า ซึ่งเป็นผลตัวอย่างกราฟที่ได้จากการ Sawyer-Tower circuit โดยใช้ในการศึกษาการเกิดโพลาไรเซชัน ผลที่ได้จะแสดงในรูปกราฟ ระหว่าง ค่าสนามไฟฟ้าจากภายนอกกับโพลาไรเซชัน โดยตัวอย่างกราฟลักษณะสมบัติของอุปกรณ์ ในอุดมคติแสดงดังภาพที่ 2.18 ดังนี้

(ก) กราฟลักษณะสมบัติของตัวเก็บประจุเชิงเส้น ในอุดมคติ ซึ่งเป็นตัวเก็บประจุเชิงเส้นที่เป็นเส้นตรงมีสัดส่วนความชันกับค่าความจุไฟฟ้า

(ข) กราฟลักษณะสมบัติของตัวต้านทานเชิงเส้น ในอุดมคติ ซึ่งเป็นอุปกรณ์ที่ไม่มีการสะสมพลังงานในรูปสนามไฟฟ้าหรือแม่เหล็ก

(ค) กราฟลักษณะสมบัติของการสูญเสียตัวเก็บประจุเชิงเส้น ซึ่งเป็นผลจากการสูญเสียประจุในพื้นที่ภายในอุปกรณ์ มีสัดส่วนสัมพันธ์ของอุปกรณ์ทำให้เกิดการสูญเสียและมีสัดส่วนความชันกับค่าความจุไฟฟ้า

(ก) การตอบสนองแบบไม่เป็นเชิงเส้นของสารเพอร์โอะเล็กทริก ซึ่งมีไม้เลกูลเรียงตัวกันได้เอง โดยไม่ต้องใช้สนามไฟฟ้าจากภายนอก



ภาพที่ 2.18 ความสัมพันธ์ระหว่าง P-E ของเครื่องวัด [25]

- (ก) กราฟลักษณะสมบัติของตัวเก็บประจุเชิงเส้นในอุดมคติ
- (ข) กราฟลักษณะสมบัติของตัวต้านทานเชิงเส้นในอุดมคติแบบ
- (ค) กราฟลักษณะสมบัติของการสูญเสียตัวเก็บประจุแบบเชิงเส้น
- (ง) กราฟลักษณะสมบัติของเพอร์โอะเล็กทริกแบบไม่เป็นเชิงเส้น

## บทที่ 3

### ขั้นตอนการทดลอง

ในบทนี้ได้กล่าวถึงกระบวนการปลูกผลึกแอมโมเนียมไดไฮดรอเจนฟอฟเฟตและผลึก ADP ที่ถูกเจือด้วยกรดทาร์ทาเริค โดยปลูก 2 วิธี คือ 1) วิธีการปลูกแบบตั้งเดิม 2) วิธีการปลูกแบบทิศทางเดียว โดยศึกษาเปลี่ยนแปลงสมบัติของผลึก โครงงานนี้วิเคราะห์ชั้นผลึกตัวอย่าง 5 สมบัติ คือ 1) ศึกษาอัตราการเจริญเติบโต 2) ศึกษาหมุนพังก์ชันตัวยห์เทคนิค FTIR 3) ศึกษาการเลี้ยวเบนของรังสีเอกซ์ 4) ศึกษาค่าไดอิเล็กทริก และ 5) ศึกษาสมบัติเพื่อริโอลิเอล็กทริก ซึ่งรายละเอียดของกระบวนการเตรียมชั้นสารตัวอย่างและเงื่อนไขที่ใช้ในการศึกษามีดังต่อไปนี้

#### 3.1) สารเคมีที่ใช้ในโครงงาน

- สารเคมีโมโนเนียมไดไฮดรอเจนฟอฟเฟต ค่าความสามารถในการละลาย 40.4 g/100 ml ความบริสุทธิ์ 98.0% ระดับคุณภาพของสารละลาย CARLO ERBA REAGENTI
- กรดทาร์ทาเริค ค่าความสามารถในการละลาย 133 g/100 ml (20 °C) ความบริสุทธิ์ 99.0% ระดับคุณภาพของสารละลาย CARLO ERBA REAGENTI
- น้ำ DI

#### 3.2) เครื่องมือและอุปกรณ์

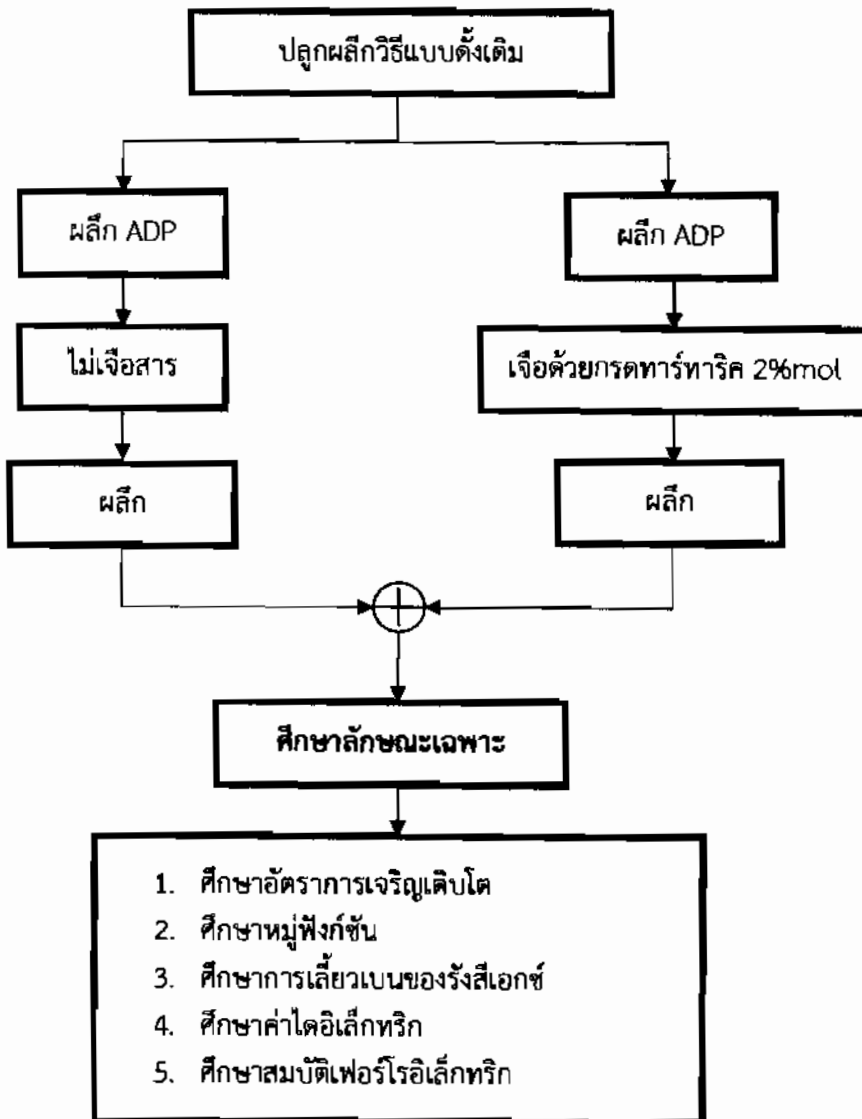
- เครื่องซึ่งดิจิตัลความละเอียด 2 ตำแหน่ง
- บีกเกอร์
- กรวยกรอง
- กระดาษกรอง
- พลาสติกใส
- ยางรัด
- ข้อมูลสาร
- ที่คีบ
- ระบบอุ่น
- แมกเนติกสแตอร์เรอร์
- อ่างสีเหลือง
- หลอดทดลองวิธี SR
- เทอร์โมมิเตอร์ แบบปรอท
- สายไฟ
- เครื่องควบคุมอุณหภูมิ
- โกร่งบดสาร
- เครื่อง XRD รุ่น Rigaku Geigerflex X-ray diffractometer
- เครื่อง FTIR รุ่น PERKIN ELMER Spectrum GX FT-IR System



19. เครื่อง uv-vis spectrometer รุ่น T80+ uv-vis spectrometer PG  
 20. เครื่อง Agilent E4980A

### 3.3) ขั้นตอนการดำเนินงานวิจัย

#### 3.3.1. ขั้นตอนที่ 1 วิธีปั๊กผลีกแบบตั้งเติม



ภาพที่ 3.1 แผนผังการศึกษาการปั๊กผลีกแบบตั้งเติม

## ตอนที่ 1 การปููกพลีก ADP บริสุทธิ์

1. ทำการเตรียมสาร ADP ปริมาตร 125 გ แล้วนำไปทำละลายกับน้ำ DI โดยเติมครั้งแรก 100 ml และเติมสารลงไปทีละน้อยอย่างสม่ำเสมอ
2. เมื่อสาร ADP ไม่ละลายแล้ว จึงเติมน้ำ DI โดยใช้กรอบอุ่นคงที่ 10 ml เติมครั้งละ 10 ml เดิมกระหึ่งได้สารสารละลายที่ไม่มีตะกอน ปริมาตร 250 ml
3. นำสารละลายที่ได้ไปกรองด้วยกระดาษกรองใส่ในบิกเกอร์ขนาด 500 ml
4. เจาะแผ่นพลาสติกใส่ให้ทั่วแผ่นแบบสุ่ม แล้วนำมารอบบิกเกอร์ที่ใส่สารละลาย
5. นำไปวางที่ชั้นวางพลีก รอให้ตัวทำละลายระเหยไปอย่างช้าๆ ก็เกิดการตกผลึก
6. ทำการตกผลึกซ้ำ (recrystallization) 2 ครั้ง ตามลำดับ
7. เก็บผลึกที่ได้แล้วนำไปวิเคราะห์ผลการทดลอง

## ตอนที่ 2 ปลูกพลีกการทดสอบทาริค

1. ทำการเตรียมสารกรดทาริค ปริมาตร 183 გ นำไปทำละลายกับน้ำ DI โดยเติมครั้งแรก 100 ml และเติมสารลงไปทีละน้อยอย่างสม่ำเสมอ
2. เมื่อสารละลายไม่ละลายแล้ว จึงเติมน้ำ DI โดยใช้กรอบอุ่นคงที่ 10 ml เติมครั้งละ 10 ml เดิมกระหึ่งได้สารละลายที่ไม่มีตะกอน ปริมาตร 270 ml
3. นำสารละลายที่ได้ไปกรองด้วยกระดาษกรองใส่ในบิกเกอร์ขนาด 500 ml
4. เจาะแผ่นพลาสติกใส่ให้ทั่วแผ่นแบบสุ่ม แล้วนำมารอบบิกเกอร์ที่ใส่สารละลาย
5. นำไปวางที่ชั้นวางพลีก รอให้ตัวทำละลายระเหยไปอย่างช้าๆ ก็เกิดการตกผลึก
6. ทำการตกผลึกซ้ำ (recrystallization) 2 ครั้ง ตามลำดับ
7. เก็บผลึกที่ได้แล้วนำไปวิเคราะห์ผลการทดลอง

## ตอนที่ 3 การปููกพลีก ADP ถูกเจือด้วยกรดทาริค 2%mol

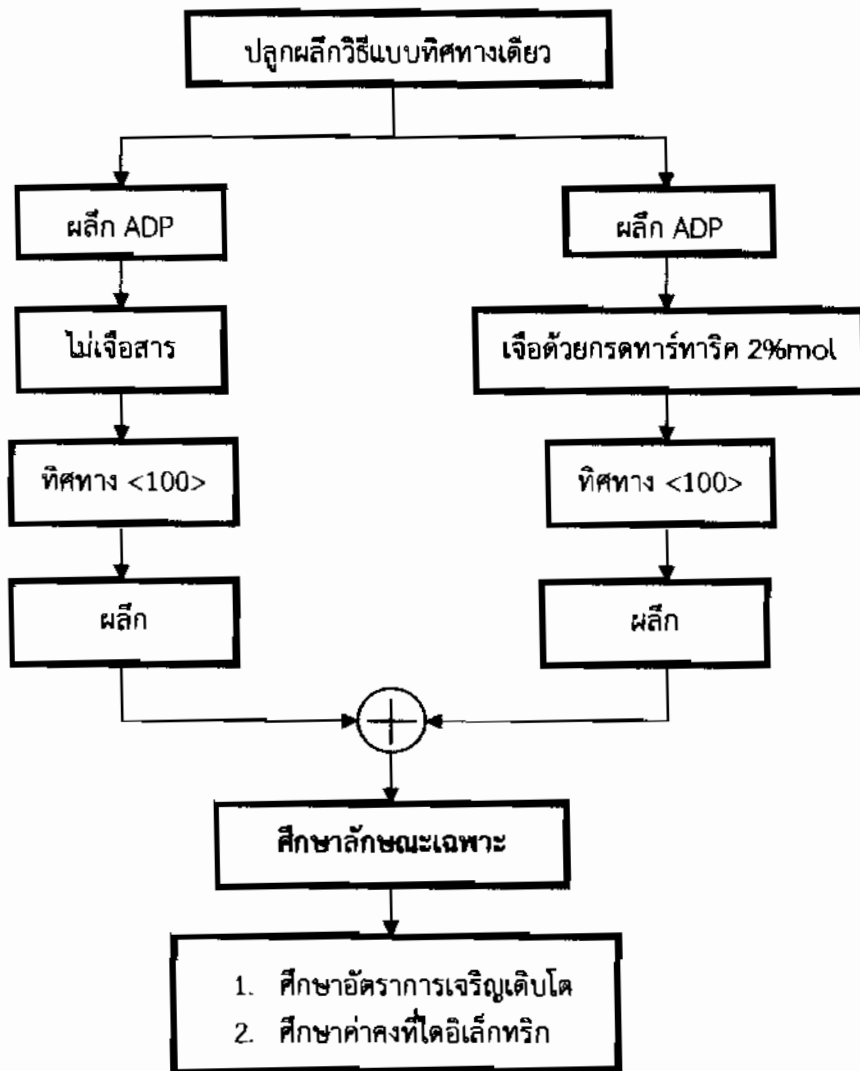
1. เตรียมพลีก ADP และผลึกกรดทาริค ที่ได้จากตอนที่ 1 และ 2 มาบดให้เป็นผงละเอียด
2. นำผงพลีก ADP ปริมาตร 79.71 გ โดยการซับน้ำหนัก แล้วนำมาคิดคำนวณที่จะทำการเจือด้วยกรดทาริค 2%mol ปริมาตร 5.2 გ ตั้งในภาชนะวุก
3. เตรียมสาร ADP ทำละลายกับน้ำ DI โดยเติมครั้งแรก 100 ml และเติมสาร ADP ลงไปทีละน้อยอย่างสม่ำเสมอ จนกระหึ่งสารละลายไม่มีตะกอน
4. เติมสารกรดทาริคลงในสารละลาย ADP ทีละน้อย
5. เมื่อสารไม่ละลายแล้ว จึงเติมน้ำ DI โดยใช้กรอบอุ่นคงที่ 10 ml ไปจนกระหึ่งได้สารสารละลายเนื้อเดียวกัน ได้ปริมาตร 500 ml
6. นำสารละลายที่ได้ไปกรองด้วยกระดาษกรองใส่บิกเกอร์ขนาด 800 ml
7. เจาะรูพลาสติกให้ทั่วแผ่นพลาสติกแบบสุ่ม แล้วนำมารอบบิกเกอร์ที่ใส่สารละลาย
8. นำไปวางที่ชั้นวางพลีก รอให้ตัวทำละลายระเหยไปอย่างช้าๆ ก็เกิดการตกผลึก
9. เก็บผลึกที่ได้แล้วนำไปวิเคราะห์ผลการทดลอง



## การนำผลึกไปวิเคราะห์ผล

1. ศึกษาอัตราการเจริญเติบโตของผลึก เตรียมโดยนำผลึกที่ได้มาทำการวัดขนาดแล้วนำด้านที่ยาวที่สุดหารด้วยระยะเวลาในการปักกอก เพื่อใช้ในการวิเคราะห์ผล
2. ศึกษาการเลี้ยวเบนของรังสีเอ็กซ์ การเตรียมชิ้นตัวอย่างโดยการนำผลึกทั้ง 2 ชิ้นตัวอย่าง มาทำการบดเป็นผงให้ละเอียดในมีปริมาณ  $5 \text{ g}$  แล้วทำการอัดเป็นแผ่นบาง โดยมีขนาดไม่เกิน  $2.5 \times 1.5 \times 1 \text{ cm}^3$  และทำการวัดโดยใช้เครื่อง XRD รุ่น Rigaku Geigerflex X-ray diffractometer
3. ศึกษาหาหมู่ห้องซึ่นด้วยเทคนิค FTIR การเตรียมชิ้นสารตัวอย่างโดยการนำผลึกที่ได้มามาทำการบดให้ละเอียดแล้วนำไปผสมกับผง KBr ในอัตราส่วน ชิ้นงาน 1 ส่วนต่อผง KBr 10 ส่วนแล้วทำการวัดผลโดยใช้เครื่อง FTIR รุ่น PERKIN ELMER Spectrum GX FT-IR System
4. ศึกษาการตุดกลืนแสง การเตรียมชิ้นสารตัวอย่างโดยนำผลึกบดให้ระเอียดแล้วทำการละลายด้วยน้ำ DI ทำการวัดโดยใช้เครื่องuv-vis spectrometer รุ่น T80+ uv-vis spectrometer PG Instrument Ltd หาค่าการตุดกลืนแสงในช่วงเลขคู่ที่  $200-800 \text{ nm}$
5. ค่าไดอิเล็กทริก การเตรียมชิ้นสารตัวอย่างโดยการนำผลึกไปทำการขัดให้มีขนาดอยู่ที่  $7.1 \times 7.5 \times 2 \text{ mm}^3$  และ  $7.2 \times 9.6 \times 2 \text{ mm}^3$  ตามลำดับ ซึ่งจะหาด้วยการเงินสองด้าน และทำการวัดในเครื่อง Agilent E4980A
6. เพอร์โตรอิเล็กทริก เตรียมโดยโดยการนำผลึกไปทำการขัดให้มีขนาดอยู่ที่  $5 \times 4.5 \times 2 \text{ mm}^3$  และ  $5 \times 4 \times 2 \text{ mm}^3$  ตามลำดับแล้วหาด้วย ชิลเวอร์เพนท์ทึ้งสองด้านแล้วทำการวัด

### 3.3.2 ขั้นตอนที่ 2 วิธีปัลอกผึ้งแบบพิศทางเดียว



ภาพที่ 3.2 แผนผังการศึกษาการปัลอกผึ้งแบบพิศทางเดียว

#### ตอนที่ 1 การปัลอกผึ้ง ADP บริสุทธิ์

- ทำการเตรียมสาร ADP ปริมาตร 125 გ แล้วนำไปทำละลายกับน้ำ DI โดยเติมครั้งแรก 100 ml เติมสารลงไปทีละน้อยอย่างสม่ำเสมอ
- เมื่อสารละลายไปคละละลายน้ำ จึงเติมน้ำ DI โดยใช้ระบบออกตวงขนาด 10 ml เติมครั้งละ 10 ml เติมจนกระถางได้สารสารละลายที่ไม่มีตะกอน ปริมาตร 250 ml
- นำสารละลายที่ได้ไปกรองด้วยกระดาษกรองใส่ในบีกเกอร์ขนาด 500 ml
- เจาะแผ่นพลาสติกใส่ให้ทั่วแผ่นแบบสุ่ม แล้วนำมารอบบีกเกอร์ที่ใส่สารละลาย
- นำไปวางที่ชั้นวางผึ้ง รอให้ตัวทำละลายระเหยไปอย่างช้าๆจนเกิดการแตกผึ้ง

6. ทำการตกผลึกซ้ำ (recrystallization) 2 ครั้ง ตามขั้นตอน 1-5 ตามลำดับ
7. เก็บผลึกที่ได้แล้วนำไปวิเคราะห์ผลการทดลอง

#### ตอนที่ 2 ปลูกผลึกกรดหาร์หารีค

1. ทำการเตรียมสารกรดหาร์หารีค มาชั่งปริมาตร 183 გ ไปทำละลายกับน้ำ DI โดยเติมครึ่ง แรก 100 ml เติมสารลงไปทีละน้อยอย่างสม่ำเสมอ
2. เมื่อสารละลายไม่ละลายน้ำ จึงเติมน้ำ DI โดยใช้กระบอกตวงเติมครึ่งละ 10 ml ไปจนกว่าสารละลายจะละลายหมด จนกระทั่งได้สารสารละลายที่ไม่มีตะกอน ปริมาตร 270 ml
3. นำสารละลายที่ได้ไปกรองด้วยกระดาษกรองใส่ในบีกเกอร์ขนาด 500 ml
4. เจาะแผ่นพลาสติกใสให้ทั่วแผ่นแบบสุ่ม แล้วมารอบบีกเกอร์ที่ใส่สารละลาย
5. นำไปวางที่ข้างฟลักซ์ รอให้ตัวทำละลายระเหยไปอย่างช้าๆเกิดการตกผลึก
6. ทำการตกผลึกซ้ำ (recrystallization) 2 ครั้ง ตามขั้นตอน 1-5 ตามลำดับ
7. เก็บผลึกที่ได้แล้วนำไปวิเคราะห์ผลการทดลอง

#### ตอนที่ 3 การปลูกผลึก ADP ถูกเจือด้วยกรดหาร์หารีค 2%mol

1. เตรียมผลึก ADP และผลึกกรดหาร์หารีค ที่ได้จากตอนที่ 1 และ 2 นับด้วยเป็นพงะเอียด
2. นำผงผลึก ADP ปริมาตร 44.31 გ แล้วนำมามิกัดคำนวณที่จะทำการเจือด้วยกรดหาร์หารีค 2%mol ปริมาตร 1.16 ดังในภาคผนวก
3. เตรียมสาร ADP ทำละลายกับน้ำ DI โดยเติมครึ่งแรก 100 ml แล้วเติมสาร ADP ลงไปทีละน้อยอย่างสม่ำเสมอ จนกระทั่งสารละลายไม่มีตะกอน
4. เติมสารกรดหาร์หารีคลงไปในสารละลาย ADP ที่ละน้อยอย่างสม่ำเสมอ
5. เมื่อสารไม่ละลายน้ำ จึงเติมน้ำ DI โดยใช้กระบอกตวงเติมครึ่งละ 10 ml ไปจนกระทั่งได้สารสารละลายเนื้อเดียวกัน ปริมาตร 120 ml
6. ติดตั้งอุปกรณ์การปลูกผลึกแบบทิศทางเดียว ดังภาพที่ 2.12
7. ทำการเลือกรอบน้ำและทิศทางการปลูกผลึก โดยใช้ชิปเป็นตัวเหนี่ยวนำการเกิดผลึก
8. นำสารละลายที่ได้ไปกรองด้วยกระดาษกรองใส่ในหลอดทดลอง
9. ปิดหลอดทดลอง โดยใช้แผ่นพลาสติกใสแข็ง
10. รอให้ตัวทำละลายระเหยไปอย่างช้าๆเกิดการตกผลึก
11. เก็บผลึกที่ได้แล้วนำไปวิเคราะห์ผลการทดลอง

#### การนำผลึกไปวิเคราะห์ผล

1. ศึกษาอัตราการเจริญเติบโตของผลึก เตรียมโดยนำผลึกที่ได้มาทำการวัดขนาดแล้วนำด้านที่ยาวที่สุดหารด้วยระยะเวลาในการปลูก เพื่อใช้ในการวิเคราะห์ผล
2. ค่าไดอิเล็กทริก การเตรียมชิ้นสารด้วยปั่นโดยการนำผลึกไปทำการขัดให้มีขนาดอยู่ที่  $7.1 \times 7.5 \times 2 \text{ mm}^3$  และ  $7.2 \times 9.6 \times 2 \text{ mm}^3$  ตามลำดับ ซึ่งจะหาด้วยการเงินสองด้าน แล้วทำการวัดในเครื่อง Agilent E4980A



บทที่ 4

## ผลการทดสอบและอภิปรายผลการทดสอบ

บทนี้จะกล่าวถึงผลการทดลองและการอภิปรายผลการทดลองเกี่ยวกับการศึกษาคุณสมบัติพื้นฐานของผลึก ADP บริสุทธิ์ และผลึก ADP ที่ถูกเจือด้วยกรดฟาร์หาริกซ์ จะนำผลลัพธ์ที่ได้มาเปรียบเทียบคุณลักษณะและวิเคราะห์สมบัติต่างๆ ของผลึก ได้แก่ การศึกษาการเลี้ยวเบนของรังสีเอกซ์ ศึกษาหมุนฟังก์ชันด้วยเทคนิค FTIR ศึกษาค่าไดอิเล็กทริก และศึกษาสมบัติไฟฟ้าอิเล็กทริก โดยรายละเอียดของผลการทดลองและอภิปรายผลมีดังต่อไปนี้

#### 4.1) ลักษณะทางกายภาพของหลักที่ปลูกได้

#### 4.1.1 ผลีกถูกปลูกแบบดั้งเดิม



ภาพที่ 4.1 ลักษณะภายนอกของผลึกปูนแบบวีธีดึงเดิม



ภาพที่ 4.1(g) คือ ผลึก ADP บริสุทธิ์ จะเห็นว่าผลึกมีลักษณะผิวน้ำเรียบ โปร่งใสและมีความสมบูรณ์ของผลึก ผลึกที่ปั้นกลูกได้มีขนาด  $3.2 \times 5.3 \times 1.5 \text{ cm}^3$  โดยใช้ระยะเวลาในการปั้น 30 วัน

ภาพที่ 4.1(ช) คือ ผลึก ADP ถูกเจือด้วยกรดหาร์หาริค 1%mol จะเห็นว่าผลึกมีลักษณะผิวน้ำของผลึกเรียบ เมื่อൺการณ์ผลึก ADP บริสุทธิ์ (ภาพที่ 4.1(ก)) แล้วมีความโปร่งใส่ไม่สໍาເສນອ

อาจเกิดจากความไม่สมบูรณ์ของผลึก ผลึกที่ปัลอกได้มีขนาด  $3.2 \times 4.3 \times 2.0 \text{ cm}^3$  ซึ่งผลึกมีขนาดใหญ่ขึ้น โดยใช้ระยะเวลาในการปัลอก 29 วัน

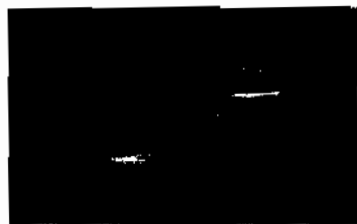
ภาพที่ 4.1(ค) คือ ผลึก ADP ถูกเจือด้วยกรดหาร์หาริค 2%mol จะเห็นว่าบางบริเวณผลึกมีลักษณะโปร่งใส ในขณะที่บางบริเวณมีลักษณะโปร่งแสง อาจเกิดจากความไม่สมบูรณ์ของผลึก ผลึกที่ปัลอกได้มีขนาด  $3.2 \times 5.3 \times 1.5 \text{ cm}^3$  โดยใช้เวลา 28 วัน

ภาพที่ 4.1(ง) แสดงภาพผลึก ADP ที่ถูกเจือด้วยกรดหาร์หาริค 5%mol จะเห็นว่าลักษณะผิวของผลึกไม่เรียบ แต่ผลึกมีลักษณะโปร่งใส ผลึกที่ปัลอกได้มีขนาด  $3.2 \times 5.5 \times 1.5 \text{ cm}^3$  ใช้เวลา 32 วัน

ภาพที่ 4.1(อ) แสดงผลึกของกรดหาร์หาริค มีลักษณะรูปทรงสี่เหลี่ยมคงที่ โดยมีผิวน้ำเรียบ โปร่งใส และมีขนาด  $1.3 \times 2.3 \times 1.5 \text{ cm}^3$  ใช้ระยะเวลาในการปัลอก 28 วัน

จากลักษณะทางกายภาพที่สังเกตได้ ผลึกที่ปัลอกได้มีลักษณะทางกายภาพที่แตกต่างกัน ทั้งขนาด รูปทรง และ ความโปร่งใส ความแตกต่างที่เกิดขึ้นนี้ อาจเนื่องมาจากการปัลอกผลึกที่แตกต่างกัน จึงส่งผลให้กระบวนการเกิดผลึกแตกต่างกัน

#### 4.1.2 ผลึกปัลอกแบบทิศทางเดียว



ภาพที่ 4.2 ลักษณะทางกายภาพของผลึกปัลอกแบบทิศทางเดียว

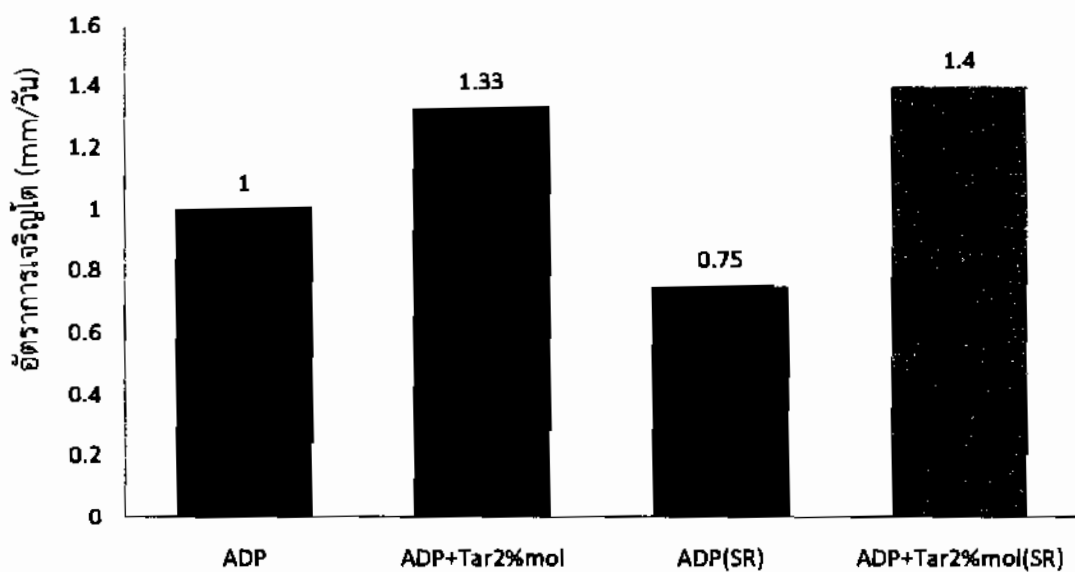
- |                                    |  |
|------------------------------------|--|
| (ก) ผลึก ADP บริสุทธิ์ ในหลอดทดลอง | (ข) ผลึก ADP เจือกรดหาร์หาริค 2%mol ในหลอดทดลอง  |
| (ค) ผลึก ADP ที่ตัดและขัด          | (ง) ผลึก ADP เจือกรดหาร์หาริค 2%mol ที่ตัดและขัด |

จากภาพที่ 4.2 แสดงผลึกที่ได้จากการปัลอกแบบทิศทางเดียว ภาพที่ 4.2(ก) แสดงภาพผลึก ADP บริสุทธิ์ จะเห็นว่าความโปร่งใสไม่สม่ำเสมอ อาจเกิดจากความไม่สมบูรณ์ของผลึก ผลึกเจริญเติบโตตามทิศทางตามที่กำหนดทิศทาง <100> ผลึกที่ปัลอกได้สูง  $4.4 \text{ cm}$  ใช้ระยะเวลาในการปัลอก 60 วัน ภาพที่ 4.2(ข) คือ ผลึก ADP เจือกรดหาร์หาริค 2%mol จะเห็นว่ามีความโปร่งใสไม่สม่ำเสมอ แต่บางบริเวณมีความโปร่งแสง อาจเกิดจากความไม่สมบูรณ์ของผลึก และมีทิศทางการ

เจริญเติบโตของพลีก เมื่อนำกรณ์ พลีก ADP บริสุทธิ์ (ภาพที่ 4.2(ก)) พลีกที่ปลูกได้สูง 7.2 cm ใช้ระยะเวลาในการปลูก 58 วัน ภาพที่ 4.2(ค) แสดงลักษณะของพลีก ADP บริสุทธิ์ ที่ได้จาก (ภาพที่ 4.2(ก)) ในหลอดทดลองเดียวกัน ซึ่งทำการตัดแล้วนำมาขัดด้วยกระดาษทรายละเอียด จากภาพที่ 1 จะเห็นว่าพลีกมีลักษณะผิวน้ำเรียบ มีความโปร่งใสและมีความสมบูรณ์ของพลีกและมีเส้นผ่าศูนย์กลาง 0.8 cm หนา 0.2 cm ในส่วนภาพที่ 2 ลักษณะของผิวของพลีกมีความโปร่งแสงและ มีร่องรอยเกิดในชั้นสารตัวอย่าง อาจเกิดจากความไม่สมบูรณ์ของพลีกและขนาดเส้นผ่าศูนย์กลาง 1.3 cm หนา 0.2 cm และ ภาพที่ 4.2(ง) แสดงพลีก ADP เจือกรดทาร์ทาริก 2%mol ที่ได้จาก (ภาพที่ 4.2(ข)) ในหลอดทดลองเดียวกัน ซึ่งทำการตัดแล้วนำมาขัดด้วยกระดาษทรายละเอียด จากภาพที่ 1 และ 2 เห็นว่าลักษณะของพลีกมีความโปร่งใสและมีร่องรอยเกิดขึ้นในชั้นสารตัวอย่าง อาจเป็น เพราะความไม่สมบูรณ์ของพลีก ขนาดพลีกหนา 0.2 cm ทั้งสองชั้นสารตัวอย่างและเส้นผ่าศูนย์กลาง 1.54 cm และ 1.55 cm ตามลำดับ

#### 4.2) อัตราการเจริญเติบโต

จากการปลูกพลีกจากสารละลายที่ได้ เมื่อพิจารณาอัตราการเจริญเติบโตของพลีกที่ได้จาก การปลูกแบบบวชตั้งเดิมและบวชทิศทางเดียว เมื่อนำมาเปรียบเทียบอัตราการเจริญเติบโตได้ กราฟดังภาพที่ 4.3



ภาพที่ 4.3 อัตราการเจริญเติบโตของพลีกชนิดต่างๆ

การปลูกพลีกแบบบวชตั้งเดิมของพลีก ADP บริสุทธิ์ มีอัตราเจริญเติบโตอยู่ที่ 1 mm/วัน และ ขนาดของพลีก ADP ถูกเจือด้วยกรดทาร์ทาริก 2%mol มีอัตราเจริญเติบโตอยู่ที่ 1.33 mm/วัน

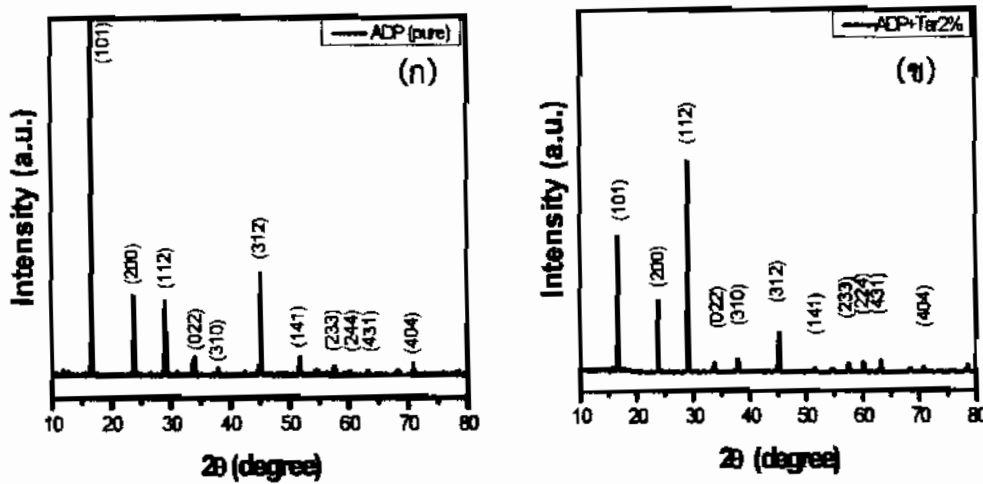
การปลูกพลีกแบบทิศทางเดียวของพลีก ADP บริสุทธิ์ มีอัตราเจริญเติบโต 0.75 mm/วัน และ ADP ถูกเจือด้วยกรดทาร์ทาริก 2%mol มีอัตราเจริญเติบโตอยู่ที่ 1.4 mm/วัน ตามลำดับ

จากผลที่ได้พบว่าอัตราการเจริญเติบโตของผลึกที่ถูกปลูกด้วยวิธีดังเดิมและวิธีพิเศษเดียวกันไม่แตกต่างกันอย่างมีนัยสำคัญ โดยการเม็ดของผลึก ADP บริสุทธิ์ วิธีแบบดั้งเดิมมีอัตราการเจริญเติบโตสูงกว่าวิธีแบบพิเศษเดียวกัน ในขณะที่การเม็ดของผลึกที่ถูกเจือด้วยกรดหาร์หาริค 2%mol พบว่า วิธีแบบพิเศษเดียวกันมีอัตราการเจริญเติบโตที่สูงกว่าวิธีแบบดั้งเดิม ความแตกต่างที่เกิดขึ้นนี้อาจเนื่องมาจากการความไม่แน่นอนในการควบคุมปัจจัยในการปลูกผลึก จึงทำให้เกิดความแปรปรวนในการเจริญเติบโตของผลึก

เมื่อเปรียบเทียบการเจริญเติบโตของผลึก ADP บริสุทธิ์ และที่ถูกเจือด้วยกรดหาร์หาริค พบว่า ผลึก ADP บริสุทธิ์ มีอัตราการเจริญเติบโตต่ำกว่าผลึกที่ถูกเจือด้วยกรดหาร์หาริค ทั้งกรณีที่ปลูกด้วยวิธีแบบดั้งเดิม และวิธีแบบพิเศษเดียวกัน แสดงให้เห็นว่า ไม่เลกุลของกรดหาร์หาริคสามารถยึดเกาะกับผลึก ADP ได้ดีและสามารถหนีจากไม่เลกุลของ ADP กับโครงผลึกได้ง่ายขึ้น [26-28] แต่อย่างไรก็ตาม ข้อมูลยังไม่เพียงพอต่อการศึกษาถูกต้องของการยึดเกาะของไม่เลกุล ADP และไม่เลกุลของกรดหาร์หาริค จึงต้องทำการศึกษาเพิ่มเติม เพื่ออธิบายกลไกที่เกิดขึ้นต่อไป

#### 4.3) การศึกษาการเลี้ยวเบนของรังสีเอกซ์

การศึกษาการเลี้ยวเบนของรังสีเอกซ์ โดยใช้เครื่อง x-ray powder diffraction ชิ่งสแกนมุมระหว่าง  $10^\circ$  ถึง  $80^\circ$  เพื่อศึกษาการเลี้ยวเบนของรังสีเอกซ์ของผลึก ADP บริสุทธิ์ และผลึก ADP เจือด้วยกรดหาร์หาริค 2%mol สเปกตรัมการเลี้ยวเบนที่ได้ถูกแสดงในภาพที่ 4.4



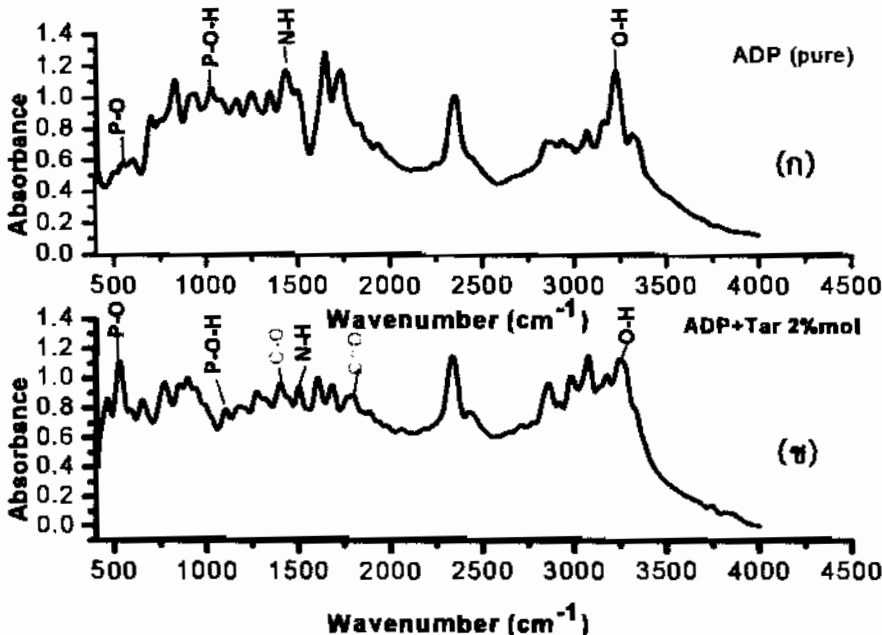
ภาพที่ 4.4 สเปกตรัมการเลี้ยวเบนของรังสีเอกซ์  
(g) สเปกตรัมการเลี้ยวเบนของผลึก ADP บริสุทธิ์  
(h) สเปกตรัมการเลี้ยวเบนของผลึก ADP ถูกเจือด้วยกรดหาร์หาริค 2%mol

ภาพที่ 4.4(ก) แสดงเส้นสเปกตรัมของการเลี้ยวเบนของผลึก ADP บริสุทธิ์ จะเห็นว่ารูปแบบที่สำคัญของผลึก ADP ที่เกิดขึ้นในมุมการเลี้ยวเบนต่างๆ คือ รูปแบบ (101) เกิดขึ้นที่มุม 16° รูปแบบ (200) เกิดขึ้นที่มุม 14° รูปแบบ (112) เกิดขึ้นที่มุม 29° รูปแบบ (022) เกิดขึ้นที่มุม 34° และรูปแบบ (312) เกิดขึ้นที่มุม 45° เมื่อเปรียบเทียบกับงานวิจัยของ Rajesh และคณะ [19] พบว่า รูปแบบที่เกิดขึ้นตรงกับเส้นสเปกตรัมใน ภาพที่ 4.4(ก) แสดงว่าโครงสร้างของผลึก ADP ที่ถูกได้รับเป็นแบบเตตระโภโนอล

ภาพที่ 4.4(ข) คือ เส้นสเปกตรัมการเลี้ยวเบนของผลึก ADP ที่ถูกเจือด้วยกรดหาร์หาริก 2%mol จากการศึกษาเส้นสเปกตรัมการเลี้ยวเบนของผลึก พบว่ามีเส้นสเปกตรัมมียอดขึ้นที่มุมต่างๆ ตรงกับยอดของสเปกตรัมที่ Rajesh และคณะ วัดได้ แสดงว่าโครงสร้างของผลึกที่ถูกเจือเป็นแบบเตตระโภโนอล ดังนั้น การเจือกรดหาร์หาริกลงในผลึก ADP จึงไม่เปลี่ยนแปลงโครงสร้างของผลึก ADP อาจเป็น เพราะ ความเข้มข้นของกรดหาร์หาริกต่ำ [28] เมื่อไม่เกิดขุ่นของกรดหาร์หาริกเข้าไป แทรกอยู่ในโครงสร้าง ADP จึงไม่ส่งผลกระทบต่อโครงสร้างของผลึก ADP ทำให้เกิดรูปแบบหลักของผลึก ADP ครบถ้วน

#### 4.4) การศึกษาหมู่ฟังก์ชันด้วยเทคนิค FTIR

การศึกษาหมู่ฟังก์ชันด้วยเทคนิคของผลึก ADP บริสุทธิ์ และผลึก ADP ที่ถูกเจือด้วยกรดหาร์หาริก 2%mol โดยใช้เทคนิค FTIR ในช่วงเลขคลื่นระหว่าง 400-4000 cm<sup>-1</sup> นำผลการทดลองที่ได้มาเปรียบเทียบผลการทดลองจากสเปกตรัมการคุณภาพลักษณะอินฟราเรดดังภาพที่ 4.5



ภาพที่ 4.5 สเปกตรัมการคุณภาพลักษณะอินฟราเรดของผลึก

- (ก) สเปกตรัมการคุณภาพลักษณะอินฟราเรดของผลึก ADP บริสุทธิ์
- (ข) สเปกตรัมการคุณภาพลักษณะอินฟราเรดผลึก ADP ถูกเจือด้วยกรดหาร์หาริก 2%mol

จากภาพที่ 4.5(ก) แสดงเส้นสเปกตรัมการคุ้กสีนและอินฟราเรดของผลึก ADP บริสุทธิ์ โดยมียอดสเปกตรัมที่เกิดจากการสั่นของหมู่พิงก์ชันภายในตัวของผลึก ADP ดังรายละเอียดในตารางที่ 4.1 เมื่อเปรียบเทียบกับงานวิจัยของ Deshpande และคณะ [19] พบว่ามีหมู่พิงก์ชันตรงกับภาพที่ 4.5(ก) ซึ่งแสดงว่าไม่เลกุลที่อยู่ในผลึกที่ปลูกได้ คือ ไม่เลกุลของแอมโมเนียมไดออกอิโตรเจน พอสเฟต ดังนั้น การปลูกผลึกด้วยวิธีแบบดั้งเดิม จะทำให้อ่อนในสารละลายกลับมารวมตัวกันเป็นไม่เลกุลแอมโมเนียมไดออกอิโตรเจนพอสเฟต

จากภาพที่ 4.5(ข) คือ เส้นสเปกตรัมการดูดกลืนแสงอินฟราเรดของผลึก ADP ที่ถูกเจือด้วยกรดหาร์หาริก 2%mol พบร่วมมือดการทำงานสันของพันธะของหมู่ฟิงก์ชันภายในตัวผลึกที่ถูกเจือด้วยกรดหาร์หาริกซึ่งในช่วงระหว่างเลขค่าลี่ด่างๆ รายละเอียดดังตารางที่ 4.1 ซึ่งสอดคล้องกับงานวิจัยของ Deshpande และคณะ [19] ดังนั้น เมื่อนำกราฟหั้งสองมาเปรียบเทียบ พบร่วมมือหมู่ฟิงก์ชันของกรดหาร์หาริกที่เจือลงไปในผลึก ADP จึงสามารถยืนยันว่ามีเมลักุลของกรดหาร์หาริกแทรกตัวอยู่ในผลึก ADP [21]

ตารางที่ 4.1 หมู่ฟังก์ชันและยอดของสเปกตรัม

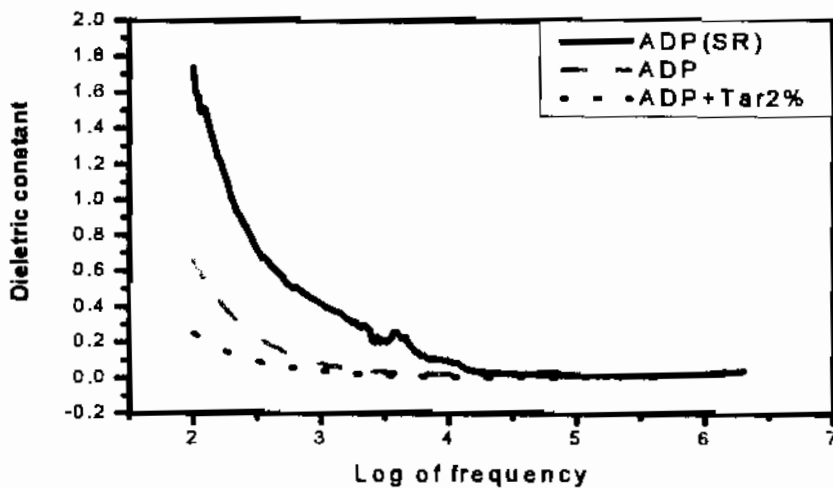
หมู่พิโครงชั้น	ADP บริสุทธิ์ ( $\text{cm}^{-1}$ )	ADP เจือกรดทาร์ทาริก 2%mol ( $\text{cm}^{-1}$ )
P-O	522	527
P-O-H	1092	1102
O-H	3260	3273
N-H	1409	1415
C-O	-	1450
C=O	-	1737

#### 4.5) การศึกษาค่าคงที่โดยเล็กทริก

ค่าคงที่ไดอิเล็กทริกถูกวิเคราะห์ด้วยเครื่อง Agilent e4980a จากการวัดค่าคงที่ไดอิเล็กทริกสัมพัทธ์ของผลึก ADP บริสุทธิ์ และ ADP เจือด้วยกรดหาร์ทาริก 2%mol รวมถึงผลึกที่ถูกปลูกด้วยวีร์แบบตั้งเดิม และแบบที่ศีหางเตี้ยๆ ผลการเตรียมมีน้ำสารตัวอย่างแสดงดังตารางที่ 4.2

ตารางที่ 4.2 ขนาดผลลัพธ์ใช้ในการวิเคราะห์ค่าคงที่ได้อิเล็กทริก

ชนิดผลึก	พื้นที่หน้าตัด ( $\text{mm}^2$ )	ความหนา (mm)
ADP (SR)	65.5	2
ADP ถูกเจือด้วยกรดทาร์ทาเริค 2%mol (SR)	7.5	2
ADP	7.1x7.5	2
ADP ถูกเจือด้วยกรดทาร์ทาเริค 2%mol	7.2x9.6	2



ภาพที่ 4.6 ค่าคงที่ดีอิเล็กทริก

ภาพที่ 4.6 แสดงความสัมพันธ์ระหว่างค่าคงที่ดีอิเล็กทริกสัมพัทธ์กับความถี่ พนว่า เมื่อความถี่เพิ่มขึ้นจะทำให้ค่าคงที่ดีอิเล็กทริกสัมพัทธ์มีแนวโน้มลดลง นอกจากนี้ การปลูกแบบทิศทางเดียวมีแนวโน้มที่จะให้ค่าดีอิเล็กทริกสัมพัทธ์สูงกว่าการปลูกแบบดังเดิม การเจือด้วยกรดหาร์หาริค มีแนวโน้มให้ค่าดีอิเล็กทริกกลั่นพัทธ์ลดลง และค่าดีอิเล็กทริกสัมพัทธ์ที่ เมื่อความถี่สูงกว่า 10000 Hz แต่อย่างไรก็ตาม ค่าดีอิเล็กทริกสัมพัทธ์ที่วัดได้มีค่าน้อยกว่า 1 ซึ่งไม่สามารถเกิดขึ้นได้ [29] แสดงว่า เกิดความผิดพลาดในการวัด ดังนั้น จึงควรทดสอบค่าคงที่ดีอิเล็กทริกสัมพัทธ์ เพื่อยืนยันผลของการเจือต่อค่าคงที่ดีอิเล็กทริกต่อไป

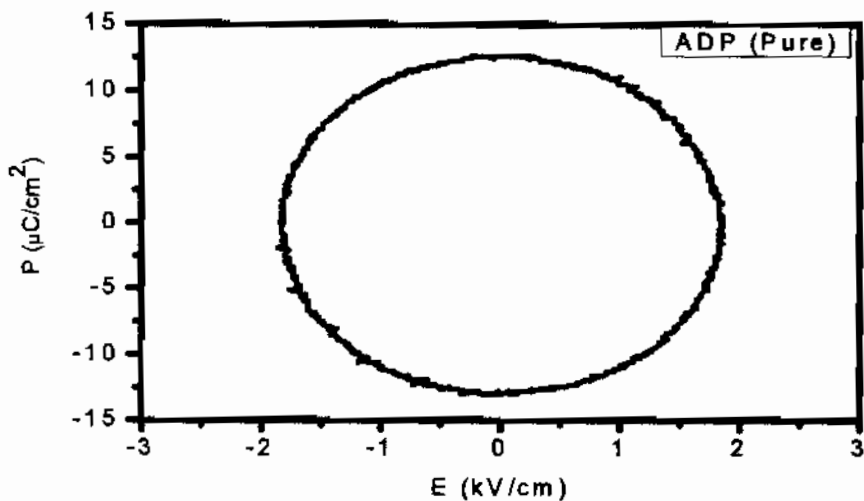
#### 4.6) การศึกษาสมบัติเพอร์โวอิเล็กทริก

จากวัดสมบัติเพอร์โวอิเล็กทริกของพลีก ADP บริสุทธิ์ และที่ถูกเจือด้วยกรดหาร์หาริค 2%mol ที่อุณหภูมิ 273 K ด้วยวงจร Sawyer-Tower circuit ผลที่ได้แสดงดังภาพที่ 4.7 และ 4.8

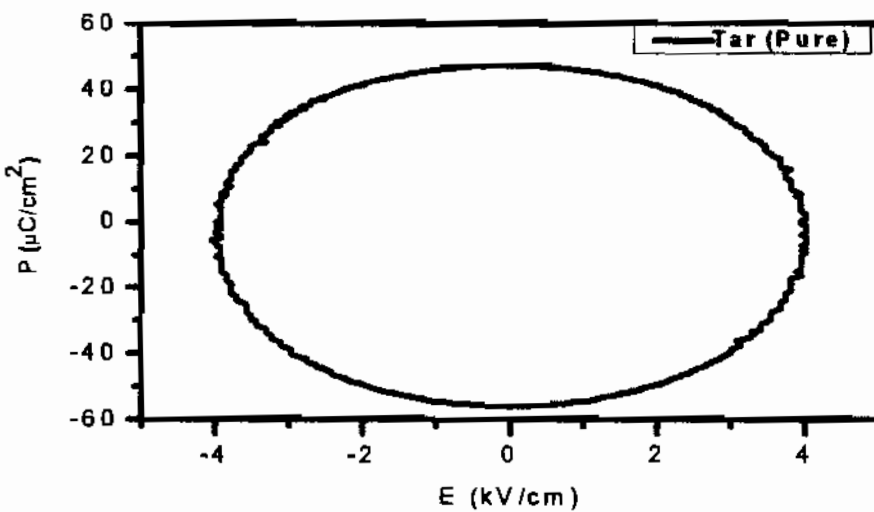
ภาพที่ 4.7 แสดงค่าไฟฟ้าเรซซันของพลีก ADP บริสุทธิ์ เมื่อสนามไฟฟ้าถูกเปลี่ยนแปลงอยู่ในช่วง -1.8 ถึง 1.8 kV/cm พบว่าพลีก ADP บริสุทธิ์ ไม่แสดงสมบัติเพอร์โวอิเล็กทริก แต่มีลักษณะค่าไฟฟ้าเรซซันที่ตรงกับกราฟในภาพที่ 2.23(ข) ซึ่งแสดงลักษณะของตัวต้านทานเชิงเส้นในอุดมคติ แสดงว่าพลีกที่ถูกได้ไม่สามารถสะสมพลังงานในรูปสนามไฟฟ้าได้ [25] โดยมีค่าไฟฟ้าเรซซันสูงสุดเท่ากับ  $12.5 \mu\text{C}/\text{cm}^2$  เมื่อสนามไฟฟ้ามีค่า 0 kV/cm

ภาพที่ 4.8 แสดงค่าไฟฟ้าเรซซันของพลีกกรดหาร์หาริค เมื่อสนามไฟฟ้าถูกเปลี่ยนแปลงอยู่ในช่วง -4 ถึง 4 kV/cm พบว่าของพลีกกรดหาร์หาริค ไม่แสดงสมบัติเพอร์โวอิเล็กทริก แต่มีลักษณะค่าไฟฟ้าเรซซันที่ตรงกับกราฟในภาพที่ 2.18(ข) ซึ่งแสดงลักษณะของตัวต้านทานเชิงเส้นในอุดมคติ แสดงว่าพลีกที่ถูกได้ไม่สามารถสะสมพลังงานในรูปแบบสนามไฟฟ้าได้ โดยมีค่าไฟฟ้าเรซซันสูงสุดเท่ากับ  $46.1 \mu\text{C}/\text{cm}^2$  เมื่อสนามไฟฟ้ามีค่า 0 kV/cm แต่อย่างไรก็ตาม จากงานวิจัยของ Zhihua และคณะ [24] พนว่า เมื่อผสมกรดหาร์หาริคกับสารอื่นแล้วทำให้เกิดสารในกลุ่มหาร์หาริค สารที่เกิดขึ้นสามารถแสดงสมบัติเป็นเพอร์โวอิเล็กทริกได้ พลีกที่ถูกได้ในโครงงานนี้ไม่สามารถแสดงสมบัติ

เฟอร์โรอิเล็กทริกได้ อาจเนื่องจาก ปริมาณของกรดหาร์หาริคไม่เพียงพอที่จะทำให้เกิดสารในกลุ่มหาร์หาริค นอกจ้านี้ อุณหภูมิที่วัดสูงกว่าค่าอุณหภูมิวิกฤติ ทำให้ผลึกที่ปัลอกได้ไม่สามารถแสดงสมบัติ เฟอร์โรอิเล็กทริกได้



ภาพที่ 4.7 ค่าโพลาไรเซชันของผลึก ADP บริสุทธิ์



ภาพที่ 4.8 ค่าโพลาไรเซชันของผลึกหาร์หาริค

## บทที่ 5

### สรุปผลการทดลองและข้อเสนอแนะ

#### 5.1) สรุปผลการทดลอง

จากการปัจจุบันจากสารละลาย โดยทำการปัจจุบันวิธีดังเดิมและการปัจจุบันวิธีแบบทิศทางเดียว ซึ่งทำการศึกษาด้วยเทคนิคต่างๆ พบว่า ผลลัพธ์ ADP ที่ถูกปัจจุบันด้วยวิธีแบบทิศทางเดียวมีอัตราการเจริญเติบโตสูงกว่าผลลัพธ์ ADP ที่ถูกปัจจุบันด้วยวิธีแบบดั้งเดิม การเจือด้วยกรดหาร์หาริคทำให้ผลลัพธ์ปัจจุบันได้มีอัตราการเจริญเติบโตที่สูงขึ้น

การศึกษาการเลี้ยวเบนของรังสีเอกซ์ พบร่วมกับการเลี้ยวเบนที่รัฐบาลของผลลัพธ์ ADP บริสุทธิ์ มีรัฐบาลตรงกับสเปกตรัมของผลลัพธ์ที่ถูกเจือด้วยกรดหาร์หาริค ดังนั้น การเจือด้วยกรดหาร์หาริค จึงไม่ส่งผลต่อโครงสร้างของผลลัพธ์ ADP ในขณะที่ผลจากการวิเคราะห์หมู่ฟังก์ชันด้วยเทคนิค FTIR แสดงให้เห็นว่า ภายในโครงสร้างของผลลัพธ์ ADP ที่ถูกเจือมีโมเลกุลของกรดหาร์หาริค ดังนั้น โมเลกุลของกรดหาร์หาริค อาจแทรกตัวอยู่ในโครงสร้างของผลลัพธ์ ADP

การศึกษาค่าคงที่โดยอิเล็กทริกสัมพัทธ์ แสดงให้เห็นว่า การปัจจุบันวิธีแบบทิศทางเดียวจะทำให้ได้ผลลัพธ์ที่มีค่าคงที่โดยอิเล็กทริกสัมพัทธ์สูงกว่าผลลัพธ์ที่ได้จากการปัจจุบันวิธีดังเดิม แต่อย่างไรก็ตาม ไม่พบสมบัติเพอร์โตรอิเล็กทริก ทั้งในผลลัพธ์ ADP บริสุทธิ์และผลลัพธ์ของกรดหาร์หาริคบริสุทธิ์ ที่อุณหภูมิ 273 K โดยกราฟโพลาไรเซชันที่ได้แสดงลักษณะของตัวดำเนินงานเชิงเส้นในอุดมคติ

#### 5.2) ปัญหา

5.2.1 การปัจจุบันวิธีแบบทิศทางเดียวไม่ได้ผลตามทฤษฎี เนื่องจากพบจุดบกพร่องในเนื้อผลลัพธ์ ทำให้ผลลัพธ์มีความโปร่งใสเมื่อนำมาส่อง

5.2.2 ค่าคงที่โดยอิเล็กทริกสัมพัทธ์ที่วัดได้ไม่ถูกตามหลักการของทฤษฎีแม่เหล็กไฟฟ้า

5.2.3 อุณหภูมิที่วัดสมบัติเพอร์โตรอิเล็กทริกไม่เหมาะสม ทำให้ผลลัพธ์ของกรดหาร์หาริคไม่แสดงสมบัติเพอร์โตรอิเล็กทริก

5.2.4 โครงงานนี้ขาดผลการศึกษาสมบัติเพอร์โตรอิเล็กทริกของผลลัพธ์ ADP ที่ถูกเจือด้วยกรดหาร์หาริค

#### 5.3) ข้อเสนอแนะ

- 1) ควรควบคุมปัจจัยที่ส่งผลต่อการเกิดผลลัพธ์ต่างๆ เช่น ความบริสุทธิ์ และคุณอุณหภูมิ
- 2) ควรเตรียมชิ้นส่วนตัวอย่างสำหรับการวัดค่าคงที่โดยอิเล็กทริกสัมพัทธ์อย่างระมัดระวัง เพื่อให้สามารถวัดค่าได้ตรงตามทฤษฎีแม่เหล็กไฟฟ้า
- 3) ควรลดอุณหภูมิที่ใช้ในการวัดสมบัติเพอร์โตรอิเล็กทริกให้ต่ำกว่าอุณหภูมิวิกฤติ
- 4) ควรศึกษาสมบัติเพอร์โตรอิเล็กทริกของผลลัพธ์ ADP ที่ถูกเจือด้วยกรดหาร์หาริคเพิ่มเติม



บริษัทบูรณะ



## บรรณานุกรม

- [1] D. William Callister. หนังสือวัสดุศาสตร์และวิศวกรรมวัสดุพื้นฐาน; กรุงเทพ: ท็อป 2548.
- [2] P. SanthanaRaghavan and P.Ramasamy. Crystal growth processes and method, KUR publication (2001).
- [3] V. Tripadus, M. Gugiu, M. Statescu and A. Podlesnyak. Molecular dynamics in ammonium dihydrogen phosphate using incoherent neutron scattering Original Research Article, **Chemical Physics**. 335 (2007) 233-241
- [4] Dongle Xu and Dongfeng Xue. Chemical bond simulation of KADP single-crystal growth Original Research Article , **Journal of Crystal Growth**, 310 (2008) 1385-1390.
- [5] Z. Dega-Szafran, G. Dutkiewicz, Z. Kosturkiewicz, M. Szafran and P. Barczyski Molecular, structure of hydrated complex of trigonelline with L(+)-tartaric acid, **Journal of Molecular Structure**, 991 (2011) 178–185.
- [6] Raymond Chang, เคมี 1, กรุงเทพ: แมคกรอร์-ชิลล์, 2555.
- [7] [http://www.doiptoms.ac.uk/tlplib/miller\\_indices/lattice\\_examples.php](http://www.doiptoms.ac.uk/tlplib/miller_indices/lattice_examples.php)  
(วันที่สืบค้น 25 พฤษภาคม 2556)
- [8] <http://khtpschool.ning.com/profiles/blogs/6295747:BlogPost:31589>  
(วันที่สืบค้น 12 พฤษภาคม 2556)
- [9] ที่มา: [www.physics.kku.ac.th/315205/sites/default/files/chapter03.pdf](http://www.physics.kku.ac.th/315205/sites/default/files/chapter03.pdf)  
(วันที่สืบค้น 12 พฤษภาคม 2556)
- [10] Richard J.D. Tilley. Crystals and crystal structures, Wiley Publication (2006).
- [11] Hans J.Scheel and Tsuguo Fukuda, Crystal Growth Technology, Wiley publication (2003).
- [12] Tartaric acid [ออนไลน์] เข้าถึงได้จาก [http://en.wikipedia.org/wiki/Tartaric\\_acid](http://en.wikipedia.org/wiki/Tartaric_acid)  
(วันที่สืบค้น 22 มกราคม 2556)
- [13] Jun Shen, Jimin Zheng and Yunxia Che, Bin Xi. Growth and properties of organic nonlinear optical crystals L-tartaric acid-nicotinamide and d-tartaric acid-nicotinamide. **Journal of Crystal Growth** (2003) 136–140.
- [14] P. Rajesh and P. Ramasamy. Influence of NH<sub>4</sub>Cl on the <1 0 0> directed growth and properties of ADP crystal. **Materials Letters** 64 (2010) 798–801.
- [15] K. Sethuraman, R. Ramesh Babu, R. Gopalakrishnan, P. Ramasamy. Unidirectional growth of <110> ammonium dihydrogen orthophosphate single crystal by Sankaranarayanan–Ramasamy method. **Journal of Crystal Growth** 294 (2006) 349–352



### บรรณานุกรม (ต่อ)

- [16] Geochemical Instrumentation and Analysis [ออนไลน์] เข้าถึงได้จาก  
[http://serc.carleton.edu/research\\_education/geochemsheets/techniques/XRD.html](http://serc.carleton.edu/research_education/geochemsheets/techniques/XRD.html) (วันที่สืบค้น 22 มกราคม 2556)
- [17] P. Rajesh, K.Boopathi and P.Ramasamy. Investigations on the solubility, growth, structural, optical, mechanical, dielectric and SHG behaviour of ammonium acetate doped ammonium dihydrogen phosphate crystals. **Journal of Crystal Growth.** 318 (2011) 751–756.
- [18] Fourier Transform Infrared Spectrophotometer (FT-IR) [ออนไลน์] เข้าถึงได้จาก  
<http://cste.sut.ac.th/articles/?p=294> (วันที่สืบค้น 23 มกราคม 2556)
- [19] Sunil Chaki, M. P. Deshpande, Jiten P. Tailor, Mahesh D. Chaudhary and Kanchan Mahato. Growth and Characterization of ADP Single Crystal. **American Journal of Condensed Matter Physics.** 2(1) (2012) 22-26.
- [20] Dielectric properties [ออนไลน์] เข้าถึงได้จาก  
[http://www.doitpoms.ac.uk/tlplib/dielectrics/dielectric\\_constant.php](http://www.doitpoms.ac.uk/tlplib/dielectrics/dielectric_constant.php)  
(วันที่สืบค้น 22 มกราคม 2556)
- [21] P.V. Dhanaraj a, G. Bhagavannarayana b and N.P. Rajesha. Effect of amino acid additives on crystal growth parameters and properties of ammonium dihydrogen orthophosphate crystals, **Materials Chemistry and Physics** 112 (2008) 490–495.
- [22] Ferroelectric [ออนไลน์] เข้าถึงได้จาก  
[http://archive.lib.cmu.ac.th/full/T/2548/mat0948sh\\_ch2.pdf](http://archive.lib.cmu.ac.th/full/T/2548/mat0948sh_ch2.pdf)  
(วันที่สืบค้น 22 มกราคม 2556)
- [23] Ferroelectric [ออนไลน์] เข้าถึงได้จาก  
<http://www.mc2.chalmers.se/pl/c/engelska/tutorial/flc.html>  
(วันที่สืบค้น 13 พฤษภาคม 2556)
- [24] Zhihua Sun, Tianliang Chen, Junhua Luo and Maochun Hong. Bis(imidazolium) L-Tartrate. A Hydrogen-Bonded Displacive-Type. **Phase Transitions.** 51 (2012) 3871–3876.
- [25] Ferroelectric [ออนไลน์] เข้าถึงได้จาก  
[http://interactive.npl.co.uk/multiferroics/images/7/7a/CMMT\\_A\(152\).pdf](http://interactive.npl.co.uk/multiferroics/images/7/7a/CMMT_A(152).pdf)  
(วันที่สืบค้น 13 พฤษภาคม 2556)

### បរណាអុក្រម (គោ)

- [26] P. Rajesh and P. Ramasamy. A study on optical, thermal, mechanical, dielectric, piezoelectric and NLO properties of unidirectional ammonium chloride added ammonium dihydrogen phosphate crystal, **Materials Chemistry and Physics** 117 (2009) 465–470.
- [27] P. Rajesh and P. Ramasamy. Effect of oxalic acid on the optical, thermal, dielectric and mechanical behaviour of ADP crystals, **Physica B: Condensed Matter**, 404 (2009) 1611-1616.
- [28] P. Rajesh and P. Ramasamy. Growth of dl-malic acid-doped ammonium dihydrogen phosphate crystal and its characterization Original Research Article, **Journal of Crystal Growth**, 311 (2009) 3491-3497.
- [29] P. Rajesh, K. Boopathi and P. Ramasamy. Investigations on the solubility, growth, structural, optical, mechanical, dielectric and SHG behaviour of ammonium acetate doped ammonium dihydrogen phosphate crystals Original Research Article. **Journal of Crystal Growth** 318 (2011) 751-756.

## ภาคผนวก



## ภาคผนวก

### การคำนวณ

การคำนวณหาอัตราส่วน%mol

การคำนวณเบอร์เข็นในการเจือกรดทาร์ทาริก 2%mol

แม้มโนเนียมไดไฮดรอเจนฟอสเฟต = 44.31 g

มวลโนเลกุลของแม้มโนเนียมไดไฮดรอเจนฟอสเฟต = 115.03 g/mol

กรดทาร์ทาริก

มวลโนเลกุลของกรดทาร์ทาริก = 150.087 g/mol

$$X_{ADP} = \frac{44.31 \text{ g}}{115.03 \text{ g/mol}} \quad (\text{ผ.1})$$

$$X_{ADP} = 0.385 \text{ mol}$$

หาเบอร์เข็นต์เจือกรดทาร์ทาริก 2%mol

$$\text{จะได้ว่า } X_{lactic} = \frac{1\% \times 0.385 \text{ mol}}{100\%}$$

$$= 0.0077 \text{ mol} \times 150.087 \text{ g/mol}$$

$$= 1.156 \text{ g}$$

ดังนั้น จะได้กรดทาร์ทาริก คือ 1.16 g

### ตารางผลการทดลองเพอร์โอะเล็กทริก

ลำดับ	ผลึก	D	R	$A = \pi r^2$
1	ADP	28.6	2.90	2640.7
2	Tartaric acid	26.4	1.92	1157.5

$$E = V/D \quad (\text{ผ.2})$$

$$E = (2000 * 10^{-3} * \text{channel B}) / ((D * 1000) / 100)$$

$$P = CV/A \quad (\text{ผ.3})$$

$$P = ((10^{-6} * \text{channel C} * 10^{-3} * 10) / (A / 1000)) * 1000000$$

โดยที่ P คือ โพลาไรเซชัน

C คือ ประจุไฟฟ้า

V คือ ความต่างศักย์ไฟฟ้า

A คือ พื้นที่ของชิ้นงาน

E คือ สนามไฟฟ้า

D คือ ความหนาของชิ้นงาน

หมายเหตุ ถ้า mV ให้คูณ  $10^{-3}$  และ ไม่มี mV ไม่ต้องคูณ  $10^{-3}$  ทั้ง Channel A และ Channel B

ประวัติย่อผู้วิจัย

## ประวัติผู้จัดทำโครงการ

ชื่อ-สกุล นายศักดิ์รินทร์ โคตรเพชร  
วันเดือนปีเกิด 13 กุมภาพันธ์ 2534  
ภูมิลำเนา บ้านเลขที่ 69 หมู่ 4 ตำบลขาวา อำเภอเสลภูมิ จังหวัดร้อยเอ็ด 45120  
เบอร์โทรศัพท์ 083-5448648  
E-mail sakrin\_bas@hotmail.com

### ประวัติการศึกษา

พ.ศ. 2545 สำเร็จการศึกษาระดับชั้นประถมศึกษาปีที่ 6 จากโรงเรียนบ้านทรายมูล ตำบลขาวา อำเภอเสลภูมิ จังหวัดร้อยเอ็ด 45120  
พ.ศ. 2548 สำเร็จการศึกษาระดับชั้นมัธยมศึกษาปีที่ 3 จากโรงเรียนข่าววิทยาคาร ตำบลขาวา อำเภอเสลภูมิ จังหวัดร้อยเอ็ด 45120  
พ.ศ. 2551 สำเร็จการศึกษาระดับชั้นมัธยมศึกษาปีที่ 6 จากโรงเรียนร้อยเอ็ดวิทยาลัย ตำบลโนนเมือง อำเภอเมือง จังหวัดร้อยเอ็ด 45120  
พ.ศ. 2555 สำเร็จการศึกษาระดับปริญญาตรีวิทยาศาสตร์บัณฑิต สาขาวิศิกรรมคณวิทยาศาสตร์ มหาวิทยาลัยมหาสารคาม

### ผลงาน

- ผลงานวิจัยในงานการประชุมวิทยาศาสตร์และเทคโนโลยีแห่งประเทศไทย ครั้งที่ 38 ระหว่างวันที่ 17-19 ตุลาคม พ.ศ. 2555 ณ ศูนย์ประชุมนานาชาติเอ็มเพรส โรงแรมดิเอ็มเพรส จังหวัดเชียงใหม่ ในหัวข้อ Unidirectional growth of triglycine sulphate doped potassium dihydrogen phosphate single crystal and its characteristics.

- นำเสนอผลงานวิจัยในงานการประชุมวิทยานิพนธ์บัณฑิตศึกษาครั้งที่ 12 ประจำปี การศึกษา 2556 วันศุกร์ที่ 15 กุมภาพันธ์ 2556 คณวิทยาศาสตร์ มหาวิทยาลัยมหาสารคาม ในหัวข้อ Growth of TGS doped KDP and tartaric acid doped ADP and their characterization.